

# 振動・波動論

040813F 志村晴季

平成 13 年 2 月 16 日

## 目次

<b>1</b>	<b>調和振動</b>	<b>2</b>
1.1	基本	2
1.2	複素数表示	2
1.3	ポテンシャルと調和近似	6
1.4	減衰振動	7
<b>2</b>	<b>連成振動</b>	<b>7</b>
2.1	自由度 2 の連成振動	7
2.2	一般的な、自由度 2 の連成振動の解き方	9
2.5	自由度 N の連成振動 (固定端)	13
2.6	自由度 N の連成振動 (自由端)	15
2.7	連続体極限	15
<b>3</b>	<b>連続体の振動</b>	<b>16</b>
3.1	弦の運動方程式	16
3.2	弦の振動の基準モード	17
3.3	弦の振動の一般解とフーリエ分解	19
3.4	補足 ~ より一般的なフーリエ級数展開	23
<b>4</b>	<b>一次元の波動</b>	<b>27</b>
4.1	一次元の進行波	27
4.2	波束	29
4.3	波の運ぶエネルギー	32
4.4	波の反射と透過	34
4.4.1	波の反射	34
4.4.2	波の透過	35
4.5	波の励起	38
4.6	波の分散	39

5	二次元・三次元の波	40
5.1	さまざまな波	40
5.1.1	音波の式	40
5.2	平面波 (3次元中の1次元の波)	41
5.3	球面波	41
5.4	平面波の反射と透過	42
5.5	球面波の干渉	44

## 1 調和振動

### 1.1 基本

### 1.2 複素数表示

$$\begin{cases} x = r \cos \theta = r \cos(\omega t + \delta) \\ y = r \sin \theta = r \sin(\omega t + \delta) = r \cos \theta (\omega t + \delta - \frac{1}{2}\pi) \end{cases} \quad \text{位相が遅れている。}$$

$$m \frac{d^2}{dt^2} x = -F_c \cos \theta = -mr\omega^2 \cos \theta = -m\omega^2 x$$

$$\therefore \frac{d^2}{dt^2} x = -\omega^2 x$$

このようにして、円運動は調和振動の二次元的な合成として表すことができる。

\* 一般的に、調和振動を二次元的に組み合わせた振動はリサージュ図形を描く。すなわち、

$$\begin{cases} x = A_1 \cos(\omega_1 t + \delta_1) \\ y = A_2 \cos(\omega_2 t + \delta_2) \end{cases}$$

例

$$A_1 = A_2, \omega_1 = \omega_2, \delta_1 = \delta_2 \rightarrow \text{直線 } y = x$$

$$A_1 = A_2, \omega_1 = \omega_2, \delta_1 - \delta_2 = \frac{1}{2}\pi \rightarrow \text{円}$$

$$A_1 = A_2, \omega_1 = \omega_2, \delta_1 - \delta_2 = \frac{1}{4}\pi \rightarrow \text{傾いた楕円}$$

$$A_1 = A_2, 2\omega_1 = \omega_2, \delta_1 = \delta_2 \rightarrow \text{放物線}$$

$$A_1 = A_2, 2\omega_1 = \omega_2, \delta_1 - \delta_2 = \frac{\pi}{4} \rightarrow \text{下図のような形。}$$

調和振動子

$$\frac{d^2 x}{dt^2} = -\omega^2 x$$

$$\frac{d^2 x}{dt^2} + \omega^2 x = 0$$

$$\left( \frac{d^2}{dt^2} + \omega^2 \right) x = 0 \quad \leftarrow \text{微分演算}$$

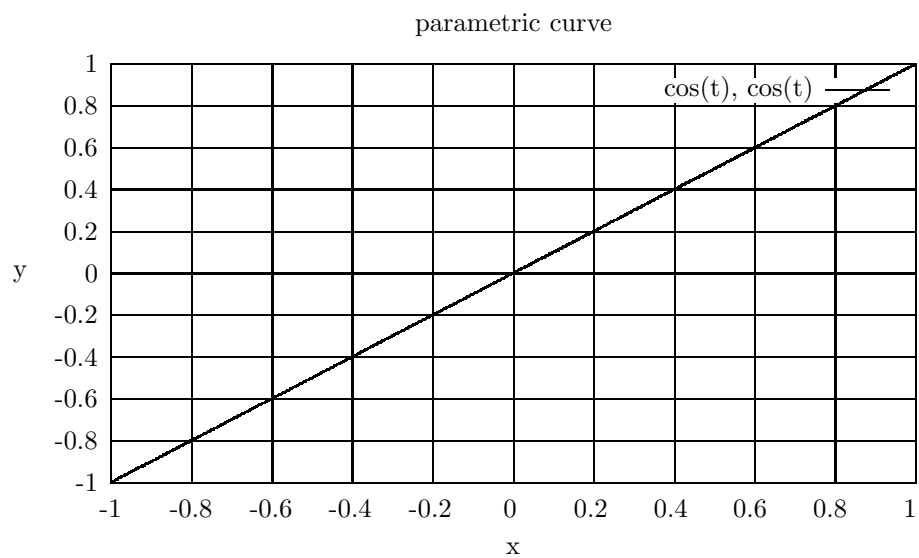


图 1:  $A_1 = A_2, \omega_1 = \omega_2, \delta_1 = \delta_2$

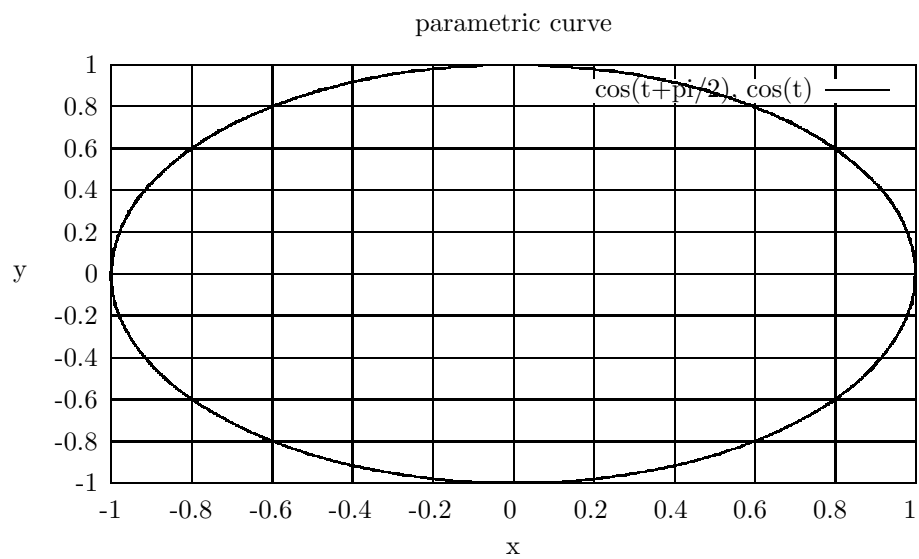


图 2:  $A_1 = A_2, \omega_1 = \omega_2, \delta_1 - \delta_2 = \frac{1}{2}\pi$

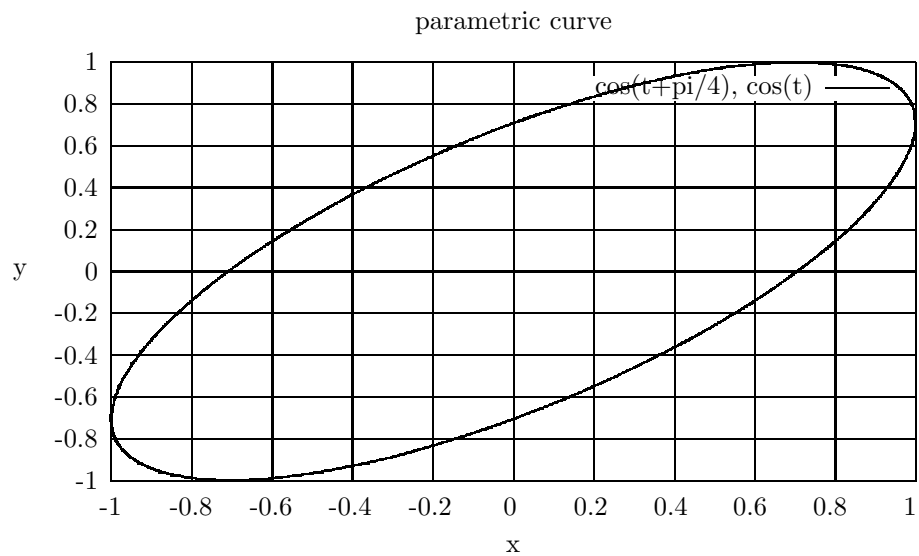


图 3:  $A_1 = A_2, \omega_1 = \omega_2, \delta_1 - \delta_2 = \frac{1}{4}\pi$

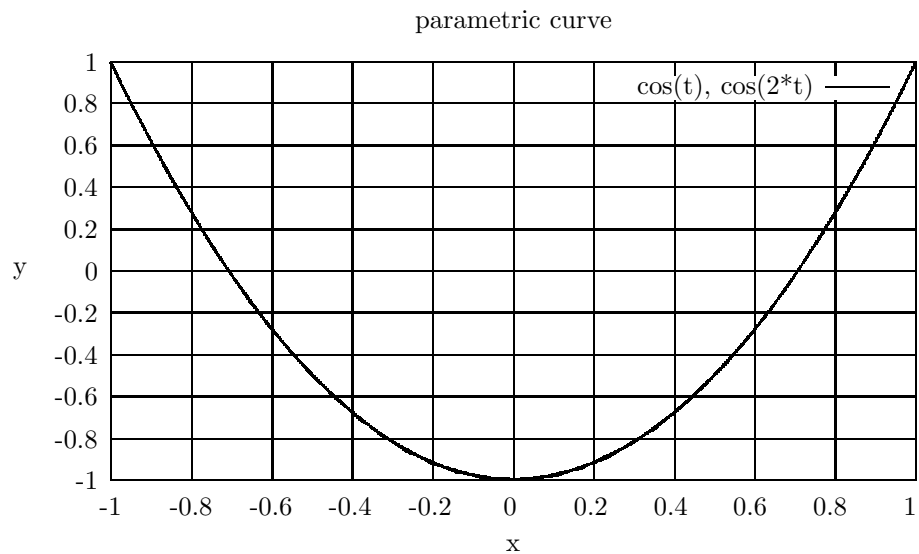


图 4:  $A_1 = A_2, 2\omega_1 = \omega_2, \delta_1 = \delta_2$

parametric curve

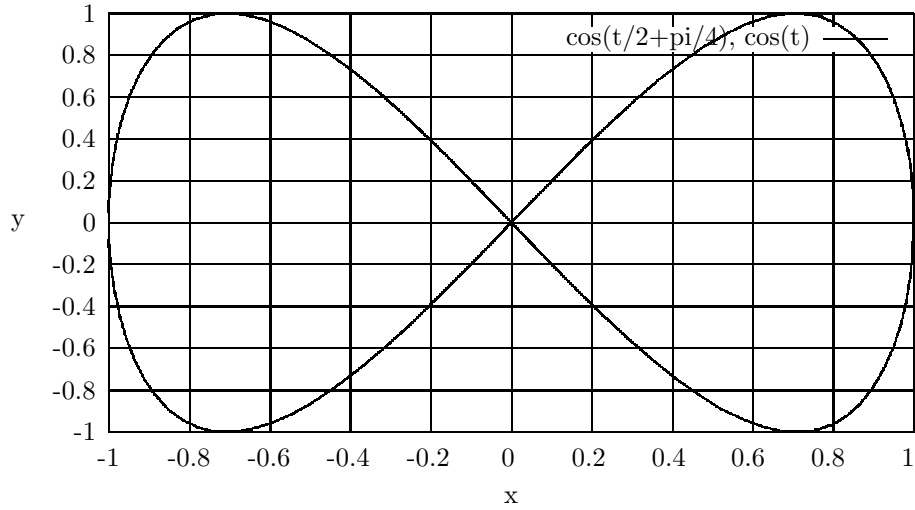


図 5:  $A_1 = A_2, 2\omega_1 = \omega_2, \delta_1 - \delta_2 = \frac{\pi}{4}$

$\frac{d^2}{dt^2} = \frac{d}{dt} \cdot \frac{d}{dt}$  であるから、

$$\frac{d^2}{dt^2} + \omega^2 = \left( \frac{d}{dt} + i\omega \right) \left( \frac{d}{dt} - i\omega \right)$$

$$\therefore \left( \frac{d}{dt} + i\omega \right) \left( \frac{d}{dt} - i\omega \right) x = 0$$

\*ここで  $\frac{d}{dt} e^{i\omega t} = i\omega e^{i\omega t}$  なので、(当然)

解)

$$\left( \frac{d}{dt} - i\omega \right) x = 0 \quad \Rightarrow x(t) = e^{i\omega t}$$

$$\left( \frac{d}{dt} + i\omega \right) x = 0 \quad \Rightarrow x(t) = e^{-i\omega t}$$

斉次線形微分方程式の解は、重ね合わせの原理を用いて

$$x(t) = c_+ e^{i\omega t} + c_- e^{-i\omega t}$$

さて、 $x(t) \in \mathbb{R}$  より、

$$x^*(t) = c_+^* e^{i\omega t} + c_-^* e^{-i\omega t}$$

$$c_+^* = c_-, c_+ = c_-^*$$

$$c_+ = \frac{A}{2} e^{i\delta}, c_- = \frac{A}{2} e^{-i\delta}$$

$$x(t) = \frac{A}{2} e^{i\delta} e^{i\omega t} + \frac{A}{2} e^{-i\delta} e^{-i\omega t} = \frac{A}{2} e^{i(\omega t + \delta)} + \frac{A}{2} e^{-i(\omega t + \delta)} = A \cos(\omega t + \delta)$$

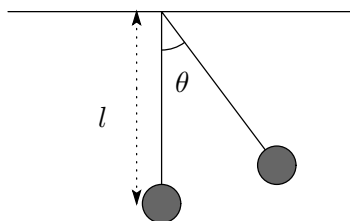


図 6: 振り子

### 1.3 ポテンシャルと調和近似

保存力:  $F(x) = -\frac{dV(x)}{dx}$  となる  $V(x)$  が存在する。

運動方程式を立てると、

$$m \frac{d^2}{dt^2} x = F = -\frac{dV}{dx} \quad \dots \text{保存力 (例: } -kx)$$

$$m \frac{d^2}{dt^2} x + \frac{dV}{dx} = 0$$

両辺に  $\frac{dx}{dt}$  をかけて、

$$m \frac{d^2}{dt^2} x \frac{dx}{dt} + \frac{dV}{dx} \frac{dx}{dt} = 0$$

$$\frac{d}{dt} \left( \frac{1}{2} m \left( \frac{dx}{dt} \right)^2 + V \right) = 0$$

$$= \frac{1}{2} m \left( \frac{dx}{dt} \right)^2 + V = E \quad \leftarrow \text{保存量 (エネルギー)}$$

当然だが、 $\frac{1}{2} m \left( \frac{dx}{dt} \right)^2$  が運動エネルギーで、 $V$  がポテンシャルである。

ポテンシャル  $V(x)$  を、 $x$  に関する滑らかな関数とする。

極小点  $x_0$  のまわりに Taylor 展開して、

$$V(x) = V(x_0) + V'(x_0)(x - x_0) + \frac{1}{2} V''(x_0)(x - x_0)^2$$

極小点  $x_0$  において、 $V'(x_0) = 0$  なので、2 次以降の項を無視すると、極小点まわりの微小振動は調和振動と記述することができる。

$$m \frac{d^2 s}{dt^2} = -gm \sin \theta$$

$$ml \frac{d^2 \theta}{dt^2} = -gm \sin \theta$$

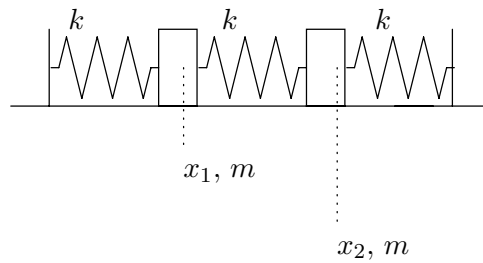


図 7: 連成振動

$\sin \theta \approx \theta$  より、

$$l \frac{d^2 \theta}{dt^2} = -g\theta$$

$$\frac{d^2 \theta}{dt^2} = \omega^2 \theta \quad (\omega = \sqrt{\frac{g}{l}})$$

ここまでは常識。これを振り子の「ポテンシャル」を使って考えてみよう。

$$h = l - l \cos \theta$$

$$V(x) = gm(l - l \cos \theta) = gml(1 - \cos \theta) = l\theta$$

$$-\frac{dV}{ds} = -\frac{dV}{d\theta} \cdot \frac{d\theta}{ds} = -gml \sin \theta$$

もし、振り子が回転できるようならば、コサインカーブが続いていく。

\* サイクロイド振り子:サイクロイド状の軌道を運動するおもりは、完全に調和振動する。

## 1.4 減衰振動

速度に比例した抵抗を受ける運動であるが、これは一学期の力学の授業であったので省略する。

## 2 連成振動

### 2.1 自由度 2 の連成振動

$x_1, x_2$  は平衡の位置からのずれを表している。

さて、運動方程式を立てると

$$m \frac{d^2}{dt^2} x_1 = -kx_1 + k(x_2 - x_1) = -2kx_1 + kx_2 \quad (1)$$

$$m \frac{d^2}{dt^2} x_2 = -kx_2 + k(x_1 - x_2) = -2kx_2 + kx_1 \quad (2)$$

(1) + (2) より、

$$\begin{cases} \text{左辺} : m \frac{d^2}{dt^2} x_1 + m \frac{d^2}{dt^2} x_2 = m \frac{d^2}{dt^2} (x_1 + x_2) \\ \text{右辺} : -2k(x_1 + x_2) + k(x_1 + x_2) = -k(x_1 + x_2) \end{cases}$$

$X = \frac{1}{2}(x_1 + x_2)$  なる重心座標を考えると、

$$m \frac{d^2}{dt^2} X = -kX$$

$\omega_I = \sqrt{\frac{k}{m}}$  の調和振動子とすると、

$$X = A_I \cos(\omega_I t + \delta_I) \text{ とできる。}$$

(1) - (2) より、

$$\begin{cases} \text{左辺} : m \frac{d^2}{dt^2} x_1 - m \frac{d^2}{dt^2} x_2 = m \frac{d^2}{dt^2} (x_1 - x_2) \\ \text{右辺} : -2k(x_1 - x_2) + k(x_2 - x_1) = -3k(x_1 - x_2) \end{cases}$$

$x = x_1 - x_2$  (相対座標) ととると、

$$m \frac{d^2}{dt^2} x = -3kx$$

$\omega_{II} = \sqrt{\frac{3k}{m}}$  の調和振動子とすると、

$$x = 2A_{II} \cos(\omega_{II} t + \delta_{II})$$

$A_I, \delta_I, A_{II}, \delta_{II}$  は独立な任意変数である。

一般解は、

$$\begin{cases} X = \frac{1}{2}(x_1 + x_2) = A_I \cos(\omega_I + \delta_I) \\ x = x_1 - x_2 = 2A_{II} \cos(\omega_{II} + \delta_{II}) \end{cases}$$

より、

$$\begin{cases} x_1 = X + \frac{1}{2}x = A_I \cos(\omega_I + \delta_I) + A_{II} \cos(\omega_{II} + \delta_{II}) \\ x_2 = X + \frac{1}{2}x = A_I \cos(\omega_I + \delta_I) - A_{II} \cos(\omega_{II} + \delta_{II}) \end{cases}$$



ここで、初期化の例として  $x_1(0) = d, \dot{x}_1(0) = 0, x_2(0) = 0, \dot{x}_2(0) = 0$  として解くと、

$$\begin{cases} x_1 = \frac{1}{2}d(\cos(\omega_1 t) + \cos(\omega_{II} t)) = d \cos\left(\frac{1}{2}(\omega_I + \omega_{II})t\right) \cos\left(\frac{1}{2}(\omega_I - \omega_{II})t\right) \\ x_2 = d \sin\left(\frac{1}{2}(\omega_I + \omega_{II})t\right) \sin\left(\frac{1}{2}(\omega_{II} - \omega_I)t\right) \end{cases}$$

ちなみに、 $\sin\left(\frac{1}{2}(\omega_{II} - \omega_I)t\right)$  あたりがうなりになる。

独立なふたつの座標(この場合は  $X$  と  $x$ ) を 基準座標、その上で観察できる運動を 基準モード という。

\* もし  $k$  が  $k'$  だったら? 以下このような場合もあわせて一般的な場合を考えよう。

## 2.2 一般的な、自由度 2 の連成振動の解き方

$$\frac{d^2}{dt^2} \begin{pmatrix} x_1 \\ x_2 \end{pmatrix} = - \begin{pmatrix} K_{11} & K_{12} \\ K_{21} & K_{22} \end{pmatrix}$$

$$\begin{pmatrix} x_1 \\ x_2 \end{pmatrix} = \begin{pmatrix} c_1 \\ c_2 \end{pmatrix} e^{i\omega t} \text{ とおくと、 } (c_1, c_2 : \text{const})$$

$$-\omega^2 \begin{pmatrix} c_1 \\ c_2 \end{pmatrix} e^{i\omega t} = - \begin{pmatrix} K_{11} & K_{12} \\ K_{21} & K_{22} \end{pmatrix} \begin{pmatrix} c_1 \\ c_2 \end{pmatrix} e^{i\omega t}$$

$$\therefore \omega^2 \begin{pmatrix} c_1 \\ c_2 \end{pmatrix} = \begin{pmatrix} K_{11} & K_{12} \\ K_{21} & K_{22} \end{pmatrix} \begin{pmatrix} c_1 \\ c_2 \end{pmatrix}$$

$\omega$ :固有値、 $\begin{pmatrix} c_1 \\ c_2 \end{pmatrix}$ :固有ベクトル

$$\omega^2 \begin{pmatrix} c_1 \\ c_2 \end{pmatrix} = \begin{pmatrix} \omega^2 & 0 \\ 0 & \omega^2 \end{pmatrix} \begin{pmatrix} c_1 \\ c_2 \end{pmatrix} \text{ であるから、}$$

$$\begin{pmatrix} \omega^2 - K_{11} & -K_{12} \\ -K_{21} & \omega^2 - K_{22} \end{pmatrix} \begin{pmatrix} c_1 \\ c_2 \end{pmatrix} = 0$$

$$(\omega^2 - K_{11})c_1 - K_{12}c_2 = 0 \tag{3}$$

$$-K_{21}c_1 + (\omega^2 - K_{22})c_2 = 0 \tag{4}$$

$c_1 \neq 0$  のとき、

(3)  $\times (\omega^2 - K_{22}) + (4) \times K_{21}$  より、

$$(\omega_2 - K_{11})(\omega_2 - K_{22}) - K_{12}K_{21} c_1 = 0$$

$$(\omega_2 - K_{11})(\omega_2 - K_{22}) - K_{12}K_{21} = 0$$

$$\therefore \frac{c_2}{c_1} = \frac{\omega^2 - K_{11}}{K_{12}}$$

ここで、 $\begin{vmatrix} \omega^2 - K_{11} & -K_{12} \\ -K_{21} & \omega^2 - K_{22} \end{vmatrix} = 0$  である。(でない、 $c_1, c_2$  が 0 になってしまう)

$\omega^2 = \lambda$  とおくと、

$$\lambda^2 - (K_{11} + K_{22})\lambda + K_{11}K_{22} - K_{12}K_{21} = 0$$

解は、

$$\lambda = \frac{1}{2} \left( (K_{11} + K_{22}) \pm \sqrt{(K_{11} - K_{22})^2 + 4K_{12}K_{21}} \right)$$

<sup>1</sup>さて、それぞれに対応する固有ベクトルは、

$$\begin{pmatrix} c_1 \\ c_2 \end{pmatrix} = c_1 \begin{pmatrix} 1 \\ \mu_{\pm} \end{pmatrix}$$

$$\mu_{\pm} = \frac{c_2}{c_1}$$

$$\mu_{\pm} = \frac{\lambda_{\pm}^2 - K_{11}}{K_{12}} = \frac{1}{2K_{12}} \left( (K_{11} + K_{22}) \pm \sqrt{(K_{11} - K_{22})^2 + 4K_{12}K_{21}} \right)$$

$$\mathbf{e}_I = \begin{pmatrix} 1 \\ \mu_I \end{pmatrix}, \quad \mathbf{e}_{II} = \begin{pmatrix} 1 \\ \mu_{II} \end{pmatrix} \text{ とすると、}$$

$$K = \begin{pmatrix} K_{11} & K_{12} \\ K_{21} & K_{22} \end{pmatrix} = \begin{cases} K_{eI} = \omega_I^2 \mathbf{e}_I \\ K_{eII} = \omega_{II}^2 \mathbf{e}_{II} \end{cases}$$

一般解は、

$$\begin{pmatrix} x_1 \\ x_2 \end{pmatrix} = A_I \cos(\omega_I t + \delta_I) \mathbf{e}_- + A_{II} \cos(\omega_{II} t + \delta_{II}) \mathbf{e}_+$$

---

<sup>1</sup> $\omega_I$  が  $\lambda_-$ 、 $\omega_{II}$  が  $\lambda_+$  に対応する。

となる。

証明)

$$\frac{d^2}{dt^2}x =$$

[行列の対角化 (2 次の場合)]

$\mathbf{e}_1, \mathbf{e}_2$  は  $K$  の固有ベクトル。

$$P = (\mathbf{e}_1, \mathbf{e}_2)$$

とする。  $\lambda$  を  $K$  の固有値として、

$$\begin{aligned} KP &= (K\mathbf{e}_1, K\mathbf{e}_2) \\ &= (\lambda_1\mathbf{e}_1, \lambda_2\mathbf{e}_2) \\ &= (\mathbf{e}_1, \mathbf{e}_2) \begin{pmatrix} \lambda_1 & 0 \\ 0 & \lambda_2 \end{pmatrix} \\ &= PK' \end{aligned}$$

ここまでが重要!!

ただし、

$$K' = \begin{pmatrix} \lambda_1 & 0 \\ 0 & \lambda_2 \end{pmatrix}$$

: $K$  の固有値を対角成分とする対角行列。

$$KP = PK'$$

$P$  が逆行列をもつとする ( $\det P \neq 0$ )。すなわち正則行列。  
すると

$$P^{-1}KP = P^{-1}PK' = K'$$

よって、

$$PP^{-1}KPP^{-1} = K = PKP^{-1}$$

$$\frac{d^2\mathbf{x}}{dt^2} = -K\mathbf{x} = -PK'P^{-1}\mathbf{x}$$

両辺に左から  $P^{-1}$  をかけて、

$$P^{-1}\frac{d^2\mathbf{x}}{dt^2} = -P^{-1}PK'P^{-1}\mathbf{x}$$

$$\frac{d^2}{dt^2}P^{-1}\mathbf{x} = -K'P^{-1}\mathbf{x}$$

$\mathbf{x}' = P^{-1}\mathbf{x}$  において、

$$\frac{d^2\mathbf{x}'}{dt^2} = -K'\mathbf{x}'$$

こうして、運動方程式を対角化することができた。

ex.)

$$K = \begin{pmatrix} \frac{2k}{m} & \frac{-k}{m} \\ \frac{-k}{m} & \frac{2k}{m} \end{pmatrix}$$

とすれば、

固有値

$$\begin{cases} \lambda_1 = \frac{k}{m} = \omega_1^2 \\ \lambda_2 = \frac{3k}{m} = \omega_2^2 \end{cases}$$

固有ベクトル

$$\mathbf{e}_1 = \frac{1}{\sqrt{2}} \begin{pmatrix} 1 \\ 1 \end{pmatrix}, \quad \mathbf{e}_2 = \frac{1}{\sqrt{2}} \begin{pmatrix} 1 \\ -1 \end{pmatrix}$$

(規格化)

すると、

$$P = \begin{pmatrix} \frac{1}{\sqrt{2}} & \frac{1}{\sqrt{2}} \\ \frac{1}{\sqrt{2}} & -\frac{1}{\sqrt{2}} \end{pmatrix}, \quad P^{-1} = \begin{pmatrix} \frac{1}{\sqrt{2}} & \frac{1}{\sqrt{2}} \\ \frac{1}{\sqrt{2}} & -\frac{1}{\sqrt{2}} \end{pmatrix}$$

$$\begin{aligned} P^{-1}KP &= \begin{pmatrix} \frac{1}{\sqrt{2}} & \frac{1}{\sqrt{2}} \\ \frac{1}{\sqrt{2}} & -\frac{1}{\sqrt{2}} \end{pmatrix} \begin{pmatrix} \frac{2k}{m} & \frac{-k}{m} \\ \frac{-k}{m} & \frac{2k}{m} \end{pmatrix} \begin{pmatrix} \frac{1}{\sqrt{2}} & \frac{1}{\sqrt{2}} \\ \frac{1}{\sqrt{2}} & -\frac{1}{\sqrt{2}} \end{pmatrix} \\ &= \begin{pmatrix} \frac{1}{\sqrt{2}} \frac{k}{m} & \frac{1}{\sqrt{2}} \frac{k}{m} \\ \frac{3}{\sqrt{2}} \frac{k}{m} & \frac{3}{\sqrt{2}} \frac{k}{m} \end{pmatrix} \begin{pmatrix} \frac{1}{\sqrt{2}} & \frac{1}{\sqrt{2}} \\ \frac{1}{\sqrt{2}} & -\frac{1}{\sqrt{2}} \end{pmatrix} \\ &= \begin{pmatrix} \frac{k}{m} & 0 \\ 0 & \frac{3k}{m} \end{pmatrix} \end{aligned}$$

さて、先ほど導入した  $\mathbf{x}'$  が基準座標となる。この場合は

$$\mathbf{x}' = \begin{pmatrix} \frac{1}{\sqrt{2}} & \frac{1}{\sqrt{2}} \\ \frac{1}{\sqrt{2}} & -\frac{1}{\sqrt{2}} \end{pmatrix} \begin{pmatrix} x_1 \\ x_2 \end{pmatrix}$$

$$\frac{d^2\mathbf{x}'}{dt^2} = -K'\mathbf{x}' \quad : \quad \frac{d^2}{dt^2} \begin{pmatrix} x'_1 \\ x'_2 \end{pmatrix} = \begin{pmatrix} \lambda_1 & 0 \\ 0 & \lambda_2 \end{pmatrix} \begin{pmatrix} x'_1 \\ x'_2 \end{pmatrix}$$

すなわち

$$\frac{d^2 x_1'}{dt^2} = -\lambda_1 x_1'$$

一般的には、

$$\frac{d^2 x_i'}{dt^2} = -\lambda_i x_i' \quad (\lambda_i = \omega_1^2)$$

これを i-モードの運動方程式 (単振動) という。

次に、この前考えた連成振動のポテンシャルを別の観点からみしてみる。記号などは前と同じ。

$$\begin{aligned} m \frac{d^2 x_1}{dt^2} &= -kx_1 + k(x_2 - x_1) = \frac{\partial}{\partial x_1} V(x_1, x_2) \\ m \frac{d^2 x_2}{dt^2} &= -k(x_2 - x_1) - kx_2 = -\frac{\partial}{\partial x_2} V(x_1, x_2) \\ V(x_1, x_2) &= \frac{1}{2} kx_1^2 + \frac{1}{2} kx_2^2 + \frac{1}{2} k(x_1 - x_2)^2 + \text{const.} \\ V(x_1, x_2) &= \frac{1}{2} kx_1^2 + \frac{1}{2} kx_2^2 + \frac{1}{2} k(x_1 - x_2)^2 + \text{const.} \\ &= \frac{1}{2} k(x_1^2 + x_2^2) + \frac{1}{2} k(x_1 - x_2)^2 + \text{const.} \\ &= \frac{1}{2} \left( \left( \frac{x_1 + x_2}{\sqrt{2}} \right)^2 + \left( \frac{x_1 - x_2}{\sqrt{2}} \right)^2 \right) + k \left( \frac{x_1 - x_2}{\sqrt{2}} \right)^2 + \text{const.} \\ &= \frac{1}{2} kx_1'^2 + \frac{3}{2} kx_2'^2 + \text{const.} \end{aligned}$$

このポテンシャルはどうなるだろうか。(グラフ)

## 2.5 自由度 N の連成振動 (固定端)

N+1 個のばねによって、位置  $x_i$  のおもり (すべて重さ N) が繋がっているものの振動を考える。

運動方程式をたてると、

$$\begin{aligned} m \frac{d^2 x_1}{dt^2} &= kx_0^* - kx_1 + k(x_2 - x_1) = -2kx_1 + kx_2 \\ m \frac{d^2 x_2}{dt^2} &= -k(x_2 - x_1) + k(x_3 - x_2) = kx_1 - 2kx_2 + kx_3 \\ &\vdots \\ m \frac{d^2 x_n}{dt^2} &= -k(x_n - x_{n-1}) + k(x_{n+1} - x_n) = kx_{n-1} - 2kx_n + kx_{n+1} \\ m \frac{d^2 x_N}{dt^2} &= -k(x_N - x_{N-1}) + kx_N = kx_{N-1} - 2kx_N + kx_{N+1}^* \end{aligned}$$

\* は便宜上、一般的なかたちをつくるために入れたもので、

$$x_0 = x_{N+1} = 0$$

である。これを拘束条件 (境界条件) という。

K を行列形で表すと、

$$K = \begin{pmatrix} \frac{2k}{m} & -\frac{k}{m} & 0 & \cdots & 0 \\ -\frac{k}{m} & \frac{2k}{m} & -\frac{k}{m} & & \vdots \\ 0 & -\frac{k}{m} & \frac{2k}{m} & \ddots & \vdots \\ \vdots & & \ddots & \ddots & -\frac{k}{m} \\ 0 & \cdots 0 & \ddots & -\frac{k}{m} & \frac{2k}{m} \end{pmatrix}$$

ある基準振動の振動数を  $\omega$  とする。

$$x_n(t) = v_n \cos(\omega t + \delta)$$

とおく。

$$m \frac{d^2 x_n}{dt^2} = -m\omega^2 v_n \cos(\omega t + \delta)$$

$$k(x_{n-1} - 2x_n + x_{n+1}) = k \cos(\omega t + \delta)(v_{n-1} - 2v_n + v_{n+1})$$

$$-m\omega^2 v_n = k(v_{n-1} + v_{n+1} - 2v_n)$$

$v_n = A \sin(n\alpha + \phi)$  とおく。

$$\sin \theta_1 + \sin \theta_2 = -2 \sin \left( \frac{\theta_1 + \theta_2}{2} \right) \left( \frac{\theta_1 - \theta_2}{2} \right)$$

$$\begin{aligned} v_{n-1} + v_{n+1} &= A (\sin((n-1)\alpha + \phi) + \sin((n+1)\alpha + \phi)) \\ &= 2A \sin(n\alpha + \phi) \cos \alpha \end{aligned}$$

よって、

$$-m\omega^2 = k(2 \cos \alpha - 2)$$

$$\omega^2 = \frac{2k}{m}(1 - \cos \alpha) = \frac{2k}{m} 2 \sin^2 \frac{\alpha}{2}$$

$$\omega^2 = \frac{4k}{m} \sin^2 \frac{\alpha}{2}$$

拘束条件

$$x_0 = v_0 \cos(\omega t + \delta) = 0, \quad v_0 = 0$$

から、

$$v_0 = \sin(0 \times \alpha + \phi) = A \sin \phi = 0 \Rightarrow \phi = 0$$

$$x_{N+1} = v_{N+1} \cos(\omega t + \delta) = 0, \quad v_{N+1} = 0$$

$$v_{N+1} = A \sin((N+1)\alpha) = 0$$

$$(N+1)\alpha = i\pi \quad (i \in N)$$

$$\begin{cases} \alpha_i = \frac{i\pi}{N+1} \text{とおく。}(i = 1, \dots, N) \\ \omega_i = 2\sqrt{\frac{k}{m}} \sin \frac{\alpha_i}{2} \end{cases}$$

この  $\omega_i$  を「i モードの固有振動数」という。

この重ね合わせで一般解がつかれる。

$$x_n(t) = \sum_{i=1}^N A_i \sin(n\alpha_i) \cos(\omega_i t + \delta_i)$$

$A_i, \delta_i$  は初期条件だけで決まる。

## 2.6 自由度 N の連成振動 (自由端)

自由端の場合の拘束条件 (境界条件) は、次のようになる。まず、

$$m \frac{d^2 x_1}{dt^2} = -k(x_1 - x_0) + k(x_2 - x_1) = k(x_2 - x_1)$$

より、「 $x_0 = x_1$ 」。

同様に「 $x_{N+1} = x_N$ 」である。

このとき、

$$\begin{aligned} v_0 = v_1 &\Rightarrow \sin \phi = \sin(\alpha + \phi) \\ 0 &= \sin(\alpha + \phi) - \sin \phi = 2 \cos\left(\frac{\alpha}{2} + \phi\right) \sin \frac{\alpha}{2} \end{aligned}$$

よって、

$$\begin{aligned} \frac{\alpha}{2} + \phi &= \pm \frac{\pi}{2} \\ v_N = v_{N+1} &\Rightarrow \sin(N\alpha + \phi) = \sin((N+1)\alpha + \phi) \\ 0 &= \sin((N+1)\alpha + \phi) - \sin(N\alpha + \phi) = 2 \cos\left(N\alpha + \frac{\alpha}{2} + \phi\right) \sin \frac{\alpha}{2} \\ \cos\left(N\alpha + \frac{\alpha}{2} + \phi\right) &= -\sin N\alpha = 0 \end{aligned}$$

$\frac{\alpha}{2} + \phi = \pm \frac{\pi}{2}$  であるから、

$$\begin{aligned} N\alpha &= i\pi \\ \therefore \alpha_i &= \frac{i\pi}{N} \quad i = 1, \dots, N-1 \end{aligned}$$

これが自由端の場合である。なぜ N がひとつ減っているかといえば、重心運動 (等速直線運動) のせいで振動の自由度がひとつ減っているからである。

## 2.7 連続体極限

先ほどの運動方程式を、連続関数として解くのが目標  
固定端で  $N$  個の物体が繋がっているのを考える。平衡点間隔を  $a$  とすると、  
全体の長さ  $L = (N + 1)a$ , 左端から  $n$  番目の物体までの距離  $z = na$  である。

$u(t, z)$  を考える。

$$x_n(t) = u(t, na) \text{ として、}$$

$$x_n(t) - x_{n-1}(t) = u(t, na) - u(t, (n-1)a)$$

$n, a$  について二変数関数のテイラー展開を施して、

$$u(t, (n-1)a) = u(t, na) + \frac{\partial u}{\partial t}(t, na)(-a) + \dots$$

$$x_n(t) - x_{n-1}(t) = a \frac{\partial u}{\partial z}(t, na)$$

$$x_{n+1}(t) - x_n(t) = a \frac{\partial u}{\partial z}(t, (n+1)a)$$

$$[x_{n+1}(t) - x_n(t)] - [x_n(t) - x_{n-1}(t)] = a \left[ \frac{\partial u}{\partial z}(t, (n+1)a) - \frac{\partial u}{\partial z}(t, na) \right] = a^2 \frac{\partial^2 u}{\partial z^2}(t, na)$$

さて、連続関数を使って考えると、

$$(\text{運動方程式の左辺}) = m \frac{\partial^2 u}{\partial t^2} = ka^2 \frac{\partial^2 u}{\partial z^2}$$

すなわち、
$$\boxed{\frac{\partial^2 u}{\partial t^2} = \frac{ka^2}{\partial z^2}}$$

$$\frac{ka^2}{m} = \frac{ka}{\frac{m}{a}} = \frac{F}{\sigma}$$

$\therefore ka = F(\text{力}), \frac{m}{a} = \sigma(\text{単位長さあたりの質量密度})$

さて、次元解析してみよう。

$$\left[ \frac{F}{\sigma} \right] = \left[ \frac{f}{\sigma} \right] = \frac{[MLT^{-2}]}{[ML^{-1}]} = [L^2T^{-2}] = [(\text{速さ})^2]$$

$v^2 \equiv \frac{F}{\sigma}$  と定義すると、次のような偏微分方程式を導くことができる。

$$\boxed{\frac{\partial^2 u}{\partial t^2} = v^2 \frac{\partial^2 u}{\partial z^2}} \text{これを波動方程式 (wave equation) という。}$$

次の項では、全く違ったやり方でこの波動方程式を導出してみる。

## 3 連続体の振動

### 3.1 弦の運動方程式

固定端の弦について<sup>2</sup>、位置  $x$ , 時刻  $t$  での横方向の変位を  $u(t, x)$  とおく。

さて、張力のつり合いを考えてみよう。

<sup>2</sup>弦が固定端じゃないってのも変だが、あとで自由端も考える。これは端に固定するときに、棒に滑らかな「輪」をつけた弦を固定する場合などである。



x 方向の力<sup>3</sup>のつり合いは、

$$F_x = T' \cos \theta' - T \cos \theta \simeq T' - T = 0 \\ \Rightarrow T' = T$$

y 方向の力<sup>4</sup>のつり合いは、

$$F_y = T' \sin \theta' - T \sin \theta \\ \simeq T' \theta' - T \theta \\ = T(\theta' - \theta)$$

$\tan \theta = \frac{\partial u}{\partial z}$  であり、 $\tan \theta \simeq \theta$  であるから、

$$F_y = T \left( \frac{\partial u}{\partial x}(t, x + \Delta x) - \frac{\partial u}{\partial x}(t, x) \right) \\ = T \Delta x \frac{\partial^2 u}{\partial x^2}$$

弦の質量  $\Delta m = \sigma \Delta x$   $\sigma$  : 単位長さあたりの弦の質量 とすると、y 方向の運動方程式は

$$\Delta m \frac{\partial^2 u}{\partial t^2} = F_y = T \Delta x \frac{\partial^2 u}{\partial x^2} \\ \sigma \Delta x \frac{\partial^2 u}{\partial t^2} = T \Delta x \frac{\partial^2 u}{\partial x^2}$$

すなわち、
$$\boxed{\frac{\partial^2 u}{\partial t^2} = \frac{T}{\sigma} \frac{\partial^2 u}{\partial x^2}}$$

### 3.2 弦の振動の基準モード

$$u(t, x) = A \sin(kx + \phi) \cos(\omega t + \delta) \\ \leftrightarrow (\text{対応}) \quad x_n(t) = A \sin(n\alpha + \phi) \cos(\omega t + \delta)$$

$$\frac{\partial^2 u}{\partial t^2} = -\omega^2 u(t, x), \quad m \frac{\partial^2 u}{\partial x^2} = -k^2 u(t, x) \text{ より、}$$

$$\frac{\partial^2 u}{\partial t^2} = v^2 \frac{\partial^2 u}{\partial x^2} \\ \Rightarrow -\omega^2 u = -v^2 k^2 u$$

$\boxed{\Rightarrow \omega = vk}$   $\leftrightarrow (\text{対応}) \quad \omega = 2\sqrt{\frac{k}{m}} \sin \frac{\alpha}{2}$   
連続関数の場合、境界条件はどうなるだろうか。

<sup>3</sup>教官はこれを「縦方向」と呼んでいた。

<sup>4</sup>教官はこれを「横方向」と呼んでいた。

## 1. 固定端の場合

$$u(t, 0) = u(t, L) = 0$$

$$u(t, 0) = A \sin \phi \cos(\omega t + \delta) = 0 \Rightarrow \phi = 0$$

$$u(t, L) = A \sin(kL) \cos(\omega t + \delta) = 0 \quad kL = i\pi, i = 1, 2, \dots, \infty$$

すなわち、 $\boxed{k_i = \frac{i\pi}{L}}, \boxed{\omega_i = vk_i = v\frac{i\pi}{L}}$

## 2. 自由端の場合はどうなるだろうか<sup>5</sup>。

$$\frac{\partial u}{\partial x}(t, 0) = \frac{\partial u}{\partial x}(t, L) = 0$$

$$\leftrightarrow (\text{対応}) \begin{cases} x_0 = x_1 \\ x_{N+1} = x_N \end{cases}$$

境界条件は、

$$\frac{\partial u}{\partial x} = kA \cos(kx + \phi) \cos(\omega t + \delta)$$

$$\frac{\partial u}{\partial x}(t, 0) = kA \cos \phi \cos(\omega t + \delta) = 0$$

$$\Rightarrow \phi = \frac{\pi}{2}$$

$$\frac{\partial u}{\partial x}(t, L) = kA \cos\left(kL + \frac{\pi}{2}\right) \cos(\omega t + \delta) = 0$$

よって  $\boxed{kL = i\pi}, \boxed{k_i = \frac{i\pi}{L}}$

図で書くと次のようになるわけ。

## 3. 片方が固定端、片方が自由端の場合

境界条件は、

$$u(t, 0) = 0, \frac{\partial u}{\partial x}(t, L) = 0$$

である。このとき、

$$\phi = 0$$

$$\cos(kL) = 0 \Leftrightarrow kL = \left(i - \frac{1}{2}\right) \pi \Rightarrow k_i = \frac{\left(i - \frac{1}{2}\right) \pi}{L} \quad (i = 1, 2, \dots, \infty)$$

$$\therefore u(t, x) = A \sin\left(\frac{\pi}{2L}x\right) \cos(\omega t + \delta), \quad \omega = vk = \frac{v}{2L}\pi$$

この場合のモードは次のようになる。

---

<sup>5</sup>自由端で弦を張る場合は、弦に輪を取り付け、二本の棒の間に張るなどのモデルを考える(ってさっき書いたじゃん)。

### 3.3 弦の振動の一般解とフーリエ分解

重ね合わせの原理によってできる波が「一般解」、それを正弦波に分解するのがフーリエ分解。

弦の振動の一般形

$$u(t, x) = \sum_{i=1}^{\infty} A_i \sin(k_i x + \phi) \cos(\omega_i t + \delta_i)$$

残る自由度  $A_i, \delta_i (i = 1, \dots, \infty)$  は初期条件 (initial condition) によって決まる。

具体的には

$$\begin{cases} u(0, x) = f(x) \\ v(0, x) = \frac{\partial u}{\partial t}(0, x) = g(x) \end{cases}$$

境界条件は (以下、しばらく固定端で考える)、

$$f(0) = f(L) = 0$$

このとき、 $\phi = 0$

$$\begin{cases} u(0, x) = \sum_{i=1}^{\infty} A_i \sin(k_i x) \cos \delta_i = f(x) \\ v(0, x) = -\sum_{i=1}^{\infty} A_i \omega_i \sin(k_i x) \sin \delta_i = g(x) \end{cases}$$

$A_i \cos \delta_i = a_i$  とおくと、

$$u(0, x) = \sum_{i=1}^{\infty} a_i \sin(k_i x) = f(x)$$

$-A_i \omega_i \sin \delta_i = b_i$  とおくと、

$$v(0, x) = \sum_{i=1}^{\infty} b_i \sin(k_i x) = g(x)$$

この  $a_i$  を求めたい。ここで、**フーリエの方法**を使う。

< フーリエの方法 >

$$f(x) = \sum_{i=1}^{\infty} a_i \sin(k_i x) \text{ の } a_i \text{ を求める。}$$

両辺に  $\sin(k_j x)$  をかけて、 $x$  で 0 から  $L$  まで積分する。

$$\begin{aligned} \text{左辺} &: \int_0^L dx f(x) \sin(k_j x) \\ \text{右辺} &: \int_0^L \sum_{i=1}^{\infty} a_i \sin(k_i x) \sin(k_j x) \\ &= \sum_{i=1}^{\infty} a_i \int_0^L dx \sin(k_i x) \sin(k_j x) \end{aligned}$$

$\int_0^L dx \sin(k_i x) \sin(k_j x)$  を  $I_{ij}$  とおく。

$$I_{ij} = \int_0^L dx \sin(k_i x) \sin(k_j x)$$

$$\sin(k_i x) \sin(k_j x) = \frac{1}{2} (\cos(k_i - k_j)x - \cos(k_i + k_j)x)$$

$i \neq j$  のとき、 $k_i + k_j \neq 0, k_i - k_j \neq 0$

$$I_{ij} = \frac{1}{2} \left[ \frac{1}{k_i - k_j} \sin((k_i - k_j)x) - \frac{1}{k_i + k_j} \sin((k_i + k_j)x) \right]_0^L = 0$$

$$\sin((k_i - k_j)L) = \sin\left(\left(\frac{i\pi}{L} - \frac{j\pi}{L}\right)L\right) = \sin((i - j)\pi)$$

$$\sin((k_i + k_j)L) = \sin((i + j)\pi) = 0$$

$i = j$  のとき、

$$I_{ij} = \frac{1}{2} \int_0^L dt - \frac{1}{2} \int_0^L dt \cos((k_i + k_j)x) = \frac{L}{2}$$

まとめれば、

$$\boxed{I_{ij} = \frac{1}{2} L \delta_{ij}}$$

ただし

$$\delta_{ij} = \begin{cases} 1 & i = j \\ 0 & i \neq j \end{cases}$$

これを用いて、

$$(\text{右辺}) = \sum_{i=1}^{\infty} a_i I_{ij} = \frac{1}{2} L a_j = (\text{左辺})$$

$$\frac{1}{2}La_j = \int_0^L dx f(x) \sin(k_j x)$$

よって、

$$\boxed{a_i = \frac{2}{L} \int_0^L dx f(x) \sin(k_i x)} \text{これをフーリエ係数という。}$$

< 例題 >

$$f(x) = \begin{cases} \frac{2a}{L}x & 0 < x < \frac{L}{2} \\ \frac{2a}{L}(L-x) & \frac{L}{2} < x < L \end{cases}$$

のとき  $a_i$  を求めよ。

$$\begin{aligned} a_i &= \frac{2}{L} \int_0^L dx f(x) \sin(k_i x) \\ &= \frac{2}{L} \left[ \int_0^{\frac{L}{2}} dx \frac{2a}{L} x \sin(k_i x) + \int_{\frac{L}{2}}^L dx \frac{2a}{L} (L-x) \sin(k_i x) \right] \end{aligned}$$

$L-x=y$  とおく。

$k_i L = i\pi$  を用いて、

$$\begin{aligned} \int_{\frac{L}{2}}^L dx \frac{2a}{L} (L-x) \sin(k_i x) &= - \int_{\frac{L}{2}}^0 dy \frac{2a}{L} y \sin(k_i L - k_i y) = \int_0^{\frac{L}{2}} dy \frac{2a}{L} y (-\sin(k_i y - i\pi)) \\ &= \begin{cases} - \int_0^{\frac{L}{2}} dy \frac{2a}{L} y \sin(k_i y) & (i : \text{偶数}) \\ \int_0^{\frac{L}{2}} dy \frac{2a}{L} y \sin(k_i y) & (i : \text{奇数}) \end{cases} \end{aligned}$$

よって、

$$a_i = \begin{cases} 0 & (i : \text{偶数}) \\ \frac{2}{L} \times \frac{2a}{L} \times 2 \int_0^{\frac{L}{2}} dx x \sin(k_i x) = \frac{8a}{L^2} \left[ -\frac{x}{k_i} \cos(k_i x) + \frac{1}{k_i^2} \sin(k_i x) \right]_0^{\frac{L}{2}} & (i : \text{奇数}) \end{cases}$$

$$\cos\left(k_i \frac{L}{2}\right) = (i = 2n+1 \text{ として}) \cos\left(\frac{(2n+1)\pi L}{L} \frac{L}{2}\right) = \cos\left(\left(n + \frac{1}{2}\right)\pi\right) = -\sin(n\pi) = 0$$

$$\sin\left(k_i \frac{L}{2}\right) = \sin\left(\frac{(2n+1)\pi L}{L} \frac{L}{2}\right) = \sin\left(\left(n + \frac{1}{2}\right)\pi\right) = \cos(n\pi)$$

$$a_i = \frac{8a}{L^2 k_i^2} \cos(n\pi) = \frac{8a}{L^2 \frac{(2n+1)^2 \pi^2}{L^2}} \cos(n\pi) = \frac{8a}{(2n+1)^2 \pi^2} \cos(n\pi)$$

と求まる<sup>6</sup>。また

$$v(0, x) = - \sum A_i \omega_i \sin(k_i x) \sin \delta_i = g(x) = 0$$

より、

$$A_i \omega_i \sin \delta_i = 0 \Leftrightarrow \delta_i = 0$$

< フーリエ級数展開とベクトル空間 >

3次元のベクトル  $\mathbf{x} = (a_1, a_2, a_3)$  を考える。このとき、

$$\mathbf{a} = a_1 \mathbf{e}_1 + a_2 \mathbf{e}_2 + a_3 \mathbf{e}_3$$

$$\begin{cases} \mathbf{e}_1 = (1, 0, 0) \\ \mathbf{e}_2 = (0, 1, 0) \\ \mathbf{e}_3 = (0, 0, 1) \end{cases}$$

n次元のベクトル  $\mathbf{a} = (a_1, a_2, \dots, a_n)$  について考えれば、

$$\mathbf{a} = \sum_{i=1}^n a_i \mathbf{e}_i$$

内積  $\mathbf{a} \cdot \mathbf{b}$  は、

$$\mathbf{a} \cdot \mathbf{b} = a_1 b_1 + a_2 b_2 + \dots + a_n b_n$$

と表せる。  $\mathbf{e}_i \mathbf{e}_j = \delta_{ij}$  (直交単位ベクトル) とする。

$$\mathbf{a} = \sum_{i=1}^n a_i \mathbf{e}_i$$

であるから、

$$a_i = \mathbf{a} \cdot \mathbf{e}_i$$

$$f(x) = \sum_{i=1}^{\infty} a_i \sin(k_i x) \quad (\sin(k_i x) \text{ が } \mathbf{e}_i \text{ に対応。直交関数系である})$$

$$a_i = \frac{2}{L} \int_0^L dx f(x) \sin(k_i x) \quad \text{これが } \mathbf{a} \cdot \mathbf{e}_i \text{ に対応}$$

$$(f, g) = \frac{2}{L} \int_0^L dx f(x) g(x)$$

---

<sup>6</sup> どのような運動をするだろうか?

これを内積の定義とできる？

< 自由端の場合の一般解 >

条件は

$$\frac{\partial u}{\partial x}(t, 0) = \frac{\partial u}{\partial x}(t, L) = 0$$

であった。

$$\begin{cases} u(t, x) = \sum_{i=1}^{\infty} A_i \cos(k_i x) \cos(\omega_i t + \delta_i) \\ v(t, x) = - \sum_{i=1}^{\infty} A_i \omega_i \cos(k_i x) \sin(\omega_i t + \delta_i) \end{cases}$$

↑ cos となっているところに注意

$$u(0, x) = f(x), v(0, x) = g(x), \frac{\partial f}{\partial x}(0) = \frac{\partial f}{\partial x}(L) = 0$$

$$\begin{cases} f(x) = \sum_{i=0}^{\infty} a_i \cos(k_i x) \\ g(x) = \sum_{i=0}^{\infty} b_i \cos(k_i x), \quad k_i = \frac{i\pi}{L} \end{cases}$$

フーリエ展開して

$$\begin{cases} a_i = \frac{2}{L} \int_0^L dx \cos(k_i x) f(x) \\ b_i = \frac{2}{L} \int_0^L dx \cos(k_i x) g(x) \end{cases}$$
$$\frac{2}{L} \int_0^L dx \cos(k_i x) \cos(k_j x) = \frac{1}{L} \int_0^L dx [\cos((k_i + k_j)x) + \cos((k_i - k_j)x)] = \delta_{ij}$$

$$\boxed{\frac{2}{L} \int_0^L dx \cos(k_i x) \cos(k_j x) = \delta_{ij}}$$

すなわち、 $\cos(k_i x)$  は直交関数形である。<sup>7</sup>

### 3.4 補足 ~ より一般的なフーリエ級数展開

区間  $-L \leq x \leq L$  (区間を広げたよ) で定義された関数  $f(x)$  がこの区間で連続であるとき、

$$f(x) = \frac{a_0}{2} + \sum_{i=1}^{\infty} a_i \cos(k_i x) + \sum_{i=1}^{\infty} b_i \sin(k_i x)$$

<sup>7</sup> sin で展開するとフーリエ正弦展開、cos で展開するとフーリエ余弦展開らしい。

$$\begin{cases} a_i = \frac{1}{L} \int_{-L}^L dx \cos(k_i x) f(x) & i = 0, 1, \dots, \infty \\ b_i = \frac{1}{L} \int_{-L}^L dx \sin(k_i x) f(x) & i = 1, 2, \dots, \infty \end{cases}$$

と展開できる。

(説明)

cos の場合

$$\begin{aligned} \frac{1}{L} \int_{-L}^L dx \cos(k_i x) \cos(k_j x) \\ &= \frac{1}{L} \int_{-L}^L dx \frac{1}{2} [\cos((k_i + k_j)x) + \cos((k_i - k_j)x)] \\ &= \delta_{ij} \end{aligned}$$

sin の場合

$$\begin{aligned} \frac{1}{L} \int_{-L}^L dx \sin(k_i x) \sin(k_j x) \\ &= \frac{1}{L} \int_{-L}^L dx \frac{1}{2} [-\cos((k_i + k_j)x) + \cos((k_i - k_j)x)] \\ &= \delta_{ij} \end{aligned}$$

$\frac{1}{L} \int_{-L}^L dx \cos(k_i x) \sin(k_j x)$  はどうなるだろうか (cos と sin は直交するか)。

$$\begin{aligned} \frac{1}{L} \int_{-L}^L dx \cos(k_i x) \sin(k_j x) \\ &= \frac{1}{L} \int_{-L}^L dx \frac{1}{2} [\sin((k_i + k_j)x) + \sin((k_j - k_i)x)] \\ &= \frac{1}{2L} \left[ -\frac{1}{k_i + k_j} \cos((k_i + k_j)x) + \frac{1}{k_i - k_j} \cos((k_i - k_j)x) \right]_{-L}^L = 0 \end{aligned}$$



上の場合は、区間が  $-L$  から  $L$  であるから成り立つもの。0 からだったらダメ。  
これを用いれば最初の式を証明できる。

$$\begin{aligned} \int_{-L}^L dx f(x) &= \int_{-L}^L dx \left( \frac{a_0}{2} + \sum_{i=1}^{\infty} a_i \cos(k_i x) + \sum_{i=1}^{\infty} b_i \sin(k_i x) \right) \\ &= \frac{a_0}{2} 2L = a_0 L \\ a_0 &= \frac{1}{L} \int_{-L}^L dx f(x) = \frac{1}{L} \int_{-L}^L dx \cos(k_0 x) f(x), \quad k_0 = 0 \end{aligned}$$

また、 $f(x)$  が偶関数のとき、

$$f(x) = f(-x) \Rightarrow b_i = 0$$

となる。

$$\begin{aligned} b_i &= \frac{1}{L} \int_{-L}^L dx \sin(k_i x) f(x) \\ &= \frac{1}{L} \left[ \int_{-L}^0 dx \sin(k_i x) f(x) + \int_0^L dx \sin(k_i x) f(x) \right] \end{aligned}$$

$\int_{-L}^0 dx \sin(k_i x) f(x)$  は、 $y = -x$  において、

$$\begin{aligned} &= - \int_{-L}^0 dy \sin(k_i y) f(-y) \\ &= \int_0^L dy \sin(k_i y) f(y) \end{aligned}$$

よって?、偶関数の場合には、 $\cos$  だけで表すことができる。

奇関数の場合には、 $a_i = 0$ 。<sup>8</sup>

半区間  $0 \leq x \leq L$  で定義された関数  $f(x)$  に対しては、正弦関数  $\sin(k_i x)$  と余弦関数  $\cos(k_i x)$  のどちらの展開も、数学的には可能である。

区間  $-L \leq x \leq L$  で定義された関数  $F(x)$  を

$$F(x) = \begin{cases} f(x) & 0 \leq x \leq L \\ f(-x) & -L \leq x < 0 \end{cases}$$

で導入する (偶関数)。このとき、

$$F(x) = \frac{a_0}{2} + \sum_{i=1}^{\infty} a_i \cos(k_i x)$$

---

<sup>8</sup>で、どうなる?

つまり、こういう  $F(x)$  のとりかたをすれば、 $\cos$  で展開することができたわけだ。一方  $F(x)$  を

$$F(x) = \begin{cases} f(x) & 0 \leq x \leq L \\ -f(-x) & -L \leq x < 0 \end{cases}$$

とすると、(奇関数)

$$F(x) = \sum_{i=1}^{\infty} b_i \sin(k_i x)$$

つまり、こういう  $F(x)$  のとりかたをすれば、 $\sin$  で展開することができたわけだ。

ex.)

$$f(x) = \begin{cases} \frac{2a}{L}x & 0 \leq x \leq \frac{L}{2} \\ \frac{2a}{L}(L-x) & \frac{L}{2} \leq x \leq L \end{cases}$$

のとき、

$$a_0 = \frac{1}{L} \int_{-L}^L dx F(x) = \frac{2}{L} \int_0^L dx F(x) = \frac{2}{L} \int_0^L dx f(x) = \frac{2}{L} \frac{aL}{2} = a$$

$$\begin{aligned} a_i &= \frac{1}{L} \int_{-L}^L dx \cos(k_i x) F(x) \\ &= \frac{2}{L} \int_0^L dx \cos(k_i x) f(x) \\ &= \begin{cases} \frac{8a}{L^2} \int_0^{\frac{L}{2}} dx \cos(k_i x) x & i : \text{偶数} \\ 0 & i : \text{奇数} \end{cases} \end{aligned}$$

$i = 2u$  のとき

$$a_{2u} = \frac{8a}{L^2} (\cos(n\pi) - 1) = \begin{cases} 0 & n : \text{偶数} \\ -\frac{4a}{(2m+1)^2 \pi^2} & n : \text{奇数} \end{cases}$$

ちょっと展開してみよう。

$$f(x) = \frac{a}{2} - \frac{4a}{\pi^2} \left[ \cos\left(\frac{2\pi}{L}x\right) + \frac{1}{9} \cos\left(\frac{6\pi}{L}x\right) + \frac{1}{25} \cos\left(\frac{10\pi}{L}x\right) + \cdots + \right]$$

これは、

$$\frac{8a}{\pi^2} \left[ \sin\left(\frac{\pi}{L}x\right) - \frac{1}{9} \sin\left(\frac{3\pi}{L}x\right) + \frac{1}{25} \sin\left(\frac{5\pi}{L}x\right) - \cdots + \right]$$

と展開できる。これは、(この区間で!!) 全く同じである。<sup>9</sup>

< フーリエ級数の複素表示 >

$$\begin{cases} \cos(k_n x) = \frac{1}{2} [e^{ik_n x} + e^{-ik_n x}] \\ \sin(k_n x) = \frac{1}{2i} [e^{ik_n x} - e^{-ik_n x}] \end{cases}$$

$$\begin{aligned} f(x) &= \frac{a_0}{2} + \sum_{n=1}^{\infty} a_n \cos(k_n x) + \sum_{n=1}^{\infty} b_n \sin(k_n x) \\ &= \frac{a_0}{2} + \sum_{n=1}^{\infty} \frac{a_n}{2} (e^{ik_n x} + e^{-ik_n x}) - i \sum_{n=1}^{\infty} \frac{b_n}{2} (e^{ik_n x} - e^{-ik_n x}) \\ &= \frac{a_0}{2} + \sum_{n=1}^{\infty} \frac{1}{2} (a_n - ib_n) e^{ib_n x} + \sum_{n=1}^{\infty} \frac{1}{2} (a_n + ib_n) e^{-ik_n x} \quad k_n = \frac{n\pi}{L}, k_{-n} = \frac{-n\pi}{L} \end{aligned}$$

$$c_n = \begin{cases} \frac{1}{2}(a_n - ib_n) & n = 1, 2, \dots, \infty \\ \frac{1}{2}a_0 & n = 0 \\ \frac{1}{2}(a_{-n} + ib_{-n}) & n = -1, -2, \dots, -\infty \end{cases}$$

とすると、

$$f(x) = \sum_{n=-\infty}^{\infty} c_n e^{ik_n x}$$

$$\begin{aligned} c_n &= \frac{1}{2L} \int_{-L}^L dx e^{-ik_n x} f(x) \\ &= \frac{1}{2L} \int_{-L}^L e^{-ik_n x} e^{ik_n x} \\ &= (m \neq n) \frac{1}{2L} \frac{1}{i(k_m - k_n)} [e^{-i(k_m - k_n)x}]_{-L}^L = 0 = \delta_{mn} ??? \end{aligned}$$

ちなみに、 $c_n^* = c_{-n}$  らしい。

<sup>9</sup>  $-L \leq x \leq L$  で定義された関数が

$$f(x) = \frac{a_0}{2} + \sum_{n=1}^{\infty} a_n \cos(k_n x) + \sum_{n=1}^{\infty} b_n \sin(k_n x)$$

と展開できるとき、 $x > L$  または  $x < -L$  の領域では、周期  $T = 2L$  の周期関数となる。

$$\therefore 2Lk_0 = 2L \frac{n\pi}{L} = n(2\pi)$$

より、展開式で  $x \rightarrow x + 2L$  としてみればわかる。

\* すると周期が  $2L$  の周期関数なら、 $-L \leq x \leq L$  の範囲で展開した結果を  $-\infty < x < \infty$  で適用することができる。

## 4 一次元の波動

### 4.1 一次元の進行波

波動方程式: $u(t, x)$  を変位として

$$\frac{\partial^2 u}{\partial t^2} = v^2 \frac{\partial^2 u}{\partial x^2} \Leftrightarrow \left( \frac{\partial^2}{\partial t^2} - v^2 \frac{\partial^2}{\partial x^2} \right) u(t, x) = 0$$

これを因数分解すると、

$$\begin{cases} \left( \frac{\partial}{\partial t} - v \frac{\partial}{\partial x} \right) \left( \frac{\partial}{\partial t} + v \frac{\partial}{\partial x} \right) u(t, x) = 0 \\ \left( \frac{\partial}{\partial t} + v \frac{\partial}{\partial x} \right) \left( \frac{\partial}{\partial t} - v \frac{\partial}{\partial x} \right) u(t, x) = 0 \end{cases}$$

$$\begin{cases} \xi = x - vt \\ \eta = x + vt \end{cases} \quad \text{とおく。}$$

$\xi$  の任意の関数  $f(\xi)$  は、

$$\begin{aligned} \left( \frac{\partial}{\partial t} + v \frac{\partial}{\partial x} \right) f(\xi) &= \left( \frac{\partial \xi}{\partial t} + v \frac{\partial \xi}{\partial x} \right) \frac{df}{d\xi} \\ &= (-v + v) \frac{df}{d\xi} = 0 \end{aligned}$$

よって、 $f(x - vt)$  は波動方程式の解である。これは **右向き進行波** となっている。  
同様に、 $g(x + vt)$  も波動方程式の解である。これは **左向き進行波** となっている。  
この二つ<sup>10</sup>を使うと、任意の波を表すことができる。これを次に示す。

初期条件を、

$$\begin{cases} u(0, x) = f(x) + g(x) = u_0(x) \\ \frac{\partial u}{\partial t}(0, x) = -vf'(x) + vg'(x) = v_0(x) \end{cases}$$

下の式より、

$$f'(x) - g'(x) = -\frac{1}{v}v_0(x)$$

$x$  で積分すると、

$$f(x) - g(x) = -\frac{1}{v} \int_0^x dx v_0(x') + f(0) - g(0)$$

上の二式を足して  $\times \frac{1}{2}$

$$f(x) = \frac{1}{2}u_0(x) - \frac{1}{2v} \int_0^x dx' v_0(x') + \frac{1}{2}(f(0) - g(0))$$

---

<sup>10</sup>  $f, g$  の形はそれぞれの場合によるけど。

上の二式の差に  $\times \frac{1}{2}$

$$g(x) = \frac{1}{2}u_0(x) + \frac{1}{2v} \int_0^x dx' v_0(x') - \frac{1}{2}(f(0) - g(0))$$

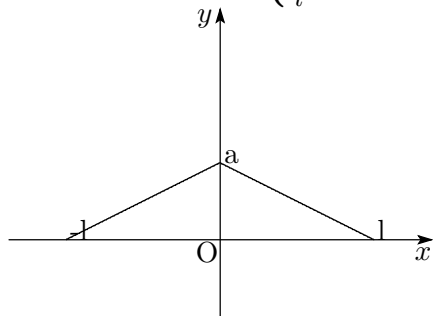
f, g が波動方程式の解であるから、二つの線形結合で

$$\therefore u(t, x) = \frac{1}{2} [u_0(x - vt) + u_0(x + vt)] + \frac{1}{2v} \int_{x-vt}^{x+vt} dx' v_0(x')$$

これをダランベールの解 (公式) という。

ex.)

初期条件が  $u_0(x) = \begin{cases} 0 & |x| > l \\ \frac{a}{l}(-|x| + l) & |x| \leq l \end{cases}$  のとき、 $(v_0(t) = 0)$



解)

$$u(t, x) = \frac{1}{2}(u_0(x - vt) + u_0(x + vt))$$

すなわち、



つぎに、周期的な進行波についてかんがえる。

$$\begin{aligned} u(t, x) &= A \cos(k(x - vt) + \delta) \\ &= A \cos(kx - \omega t + \delta) \quad v = \frac{\omega}{k} : \text{位相速度} \end{aligned}$$

$\lambda = \frac{2\pi}{k}$  が周期、この  $k$  が波数である。

## 4.2 波束

波動関数が局在化したものである。

右進行波  $f(\xi) = f(x - vt)$  を周期  $T = 2L$  の周期関数であるとみなすと、

$$f(\xi) = \frac{a_0}{2} + \sum_{n=1}^{\infty} a_n \cos(k_n \xi) + \sum_{n=1}^{\infty} b_n \sin(k_n \xi)$$

$$\begin{cases} f(\xi) = \sum_{n=-\infty}^{\infty} c_n e^{ik_n \xi} \\ c_n = \frac{1}{2L} \int_{-L}^L dx f(x) e^{-ik_n x} \end{cases}$$

$$k_n = \frac{n\pi}{L} = n\Delta k, \Delta k = \frac{\pi}{L} \rightarrow 0 \quad (L \rightarrow \infty)$$

$$\tilde{f}(k_n) = \frac{2L}{\sqrt{2\pi}} c_n \text{ とする。このとき、}$$

$$\begin{aligned} f(\xi) &= \sum_{n=-\infty}^{\infty} c_n e^{ik_n \xi} = \frac{\sqrt{2\pi}}{2L} \sum \tilde{f}(k_n) e^{ik_n \xi} \\ &= \frac{1}{\sqrt{2\pi}} \sum \tilde{f}(k_n) \frac{2\pi}{2L} e^{ik_n \xi} \end{aligned}$$

$$\frac{2\pi}{2L} = \frac{\pi}{L} = \Delta k \text{ より、}$$

$$= \frac{1}{\sqrt{2\pi}} \sum_{n=-\infty}^{\infty} \Delta k \tilde{f}(k_n) e^{ik_n \xi}$$

$L \rightarrow \infty, \Delta k \rightarrow 0$  の極限では、

$$f(\xi) = \frac{1}{\sqrt{2\pi}} \int_{-\infty}^{\infty} dk \tilde{f}(k) e^{ik\xi} \text{ (フーリエ逆変換)}$$

$$\tilde{f}(k) = \lim_{L \rightarrow \infty} \left( \frac{2L}{\sqrt{2\pi}} c_n \right) = \lim_{L \rightarrow \infty} \frac{1}{\sqrt{2\pi}} \int_{-L}^L dx f(x) e^{-ikx}$$

$$\tilde{f}(k) = \frac{1}{\sqrt{2\pi}} \int_{-\infty}^{\infty} dx f(x) e^{-ikx}$$

これをフーリエ変換という。

< フーリエ変換の例 : パルス型進行波 >

$$f(x - vt) = \begin{cases} a & |x - vt| \leq \Delta \\ 0 & |x - vt| > \Delta \end{cases}$$

のフーリエ変換を求めよ。解)

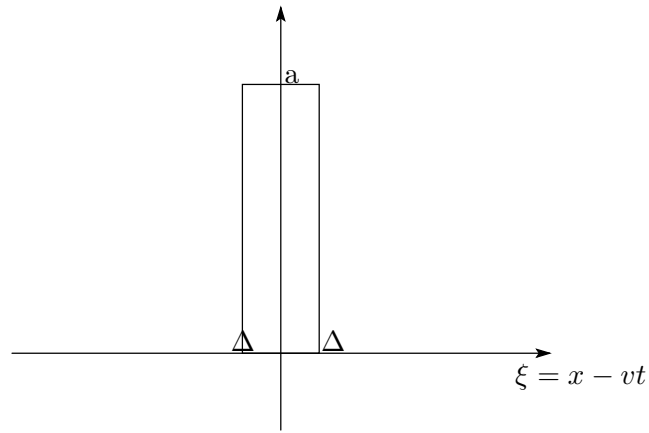


図 8: パルス型進行波

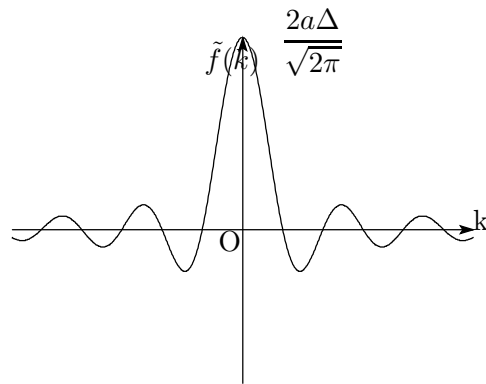


図 9: パルス型進行波のフーリエ変換

$$\begin{aligned}
 \tilde{f}(k) &= \frac{1}{2\pi} \int_{-\infty}^{\infty} d\xi f(\xi) e^{-ik\xi} \\
 &= \frac{a}{2\pi} \int_{-\Delta}^{\Delta} d\xi e^{-ik\xi} = \frac{a}{2\pi} \frac{1}{-ik} \left[ e^{-ik\Delta} - e^{ik\Delta} \right] \\
 &= \frac{2a\Delta}{\sqrt{2\pi}} \frac{1}{k\Delta} \sin(k\Delta) \quad \because \frac{1}{2i} \left[ e^{-ik\Delta} - e^{ik\Delta} \right] = \sin(k\Delta)
 \end{aligned}$$

グラフは図 9 のようになる。ちなみに、 $\Delta \rightarrow 0, a \rightarrow \infty$  の極限をとると、図 11 のようなデルタ関数となる。ただし  $20\Delta = 1$  としている。

$$\begin{cases} 0 & x \neq 0 \\ \infty & x = 0 \end{cases}$$

$$\int_{-\infty}^{\infty} dx \delta(x) = 1$$

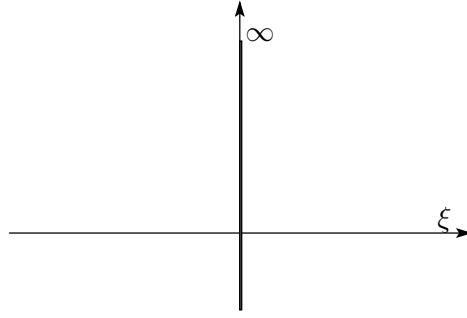


図 10: デルタ関数

という性質をもつ。偶関数なので  $\delta(x) = \delta(-x)$ 。

$$\int_{-\infty}^{\infty} dx \delta(x) = f(0)$$

$$\delta(ax) = \frac{1}{|a|} \delta(x)$$

$$\int_{-\infty}^{\infty} dx \delta(x - y) f(y) = f(x)$$

特に最後の性質は重要らしい。

< デルタ関数のフーリエ変換 >

$$\tilde{f}(k) = \frac{1}{\sqrt{2\pi}} \int_{-\infty}^{\infty} dx \delta(x) e^{-ikx} = \frac{1}{\sqrt{2\pi}} \quad k \text{ に依存しないことに注意。}$$

$$\delta(x) = \frac{1}{\sqrt{2\pi}} \int_{-\infty}^{\infty} dk \frac{1}{\sqrt{2\pi}} e^{ikx} = \frac{1}{2\pi} \int_{-\infty}^{\infty} dk e^{ikx}$$

デルタ関数を使うと、フーリエ変換した関数にフーリエ逆変換をすると元に戻ることを証明できる。

$$\begin{aligned} f(\xi) &= \frac{1}{\sqrt{2\pi}} \int_{-\infty}^{\infty} dk \tilde{f}(k) e^{ik\xi} \\ &= \frac{1}{\sqrt{2\pi}} \int_{-\infty}^{\infty} dk \frac{1}{\sqrt{2\pi}} \int_{-\infty}^{\infty} d\xi' f(\xi') e^{-ik\xi'} e^{ik\xi} \\ &= \frac{1}{2\pi} \int_{-\infty}^{\infty} d\xi' f(\xi') \int_{-\infty}^{\infty} dk e^{-ik(\xi - \xi')} \end{aligned}$$

$\xi - \xi' = x$  であるから

$$= \int_{-\infty}^{\infty} d\xi' f(\xi') \delta(\xi - \xi') = f(\xi) \quad \text{前に書いたデルタ関数の性質参照のこと。}$$

### 4.3 波の運ぶエネルギー

$$\Delta m = \sigma \Delta x \text{ とすると、} v^2 = \frac{T}{\sigma} \text{ である}^{11}。$$

<sup>11</sup>導いてから使うこと。このとき、



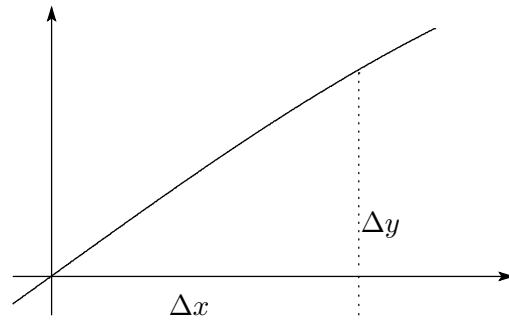


図 11: 弦の微小部分

### 運動エネルギー

$$\begin{aligned}\Delta K &= \frac{1}{2} \Delta m \left( \frac{\partial u}{\partial t} \right)^2 \\ &= \frac{1}{2} \Delta x \sigma (-v f')^2 \quad f' = \frac{\partial u}{\partial x}\end{aligned}$$

この負号は、波動方程式の一般解が  $u = A \sin(kx + \phi) \cos(\omega t + \delta)$  であることから、 $x, t$  での微分を考えると自明である。

$$\begin{aligned}&= \frac{1}{2} \Delta x \sigma x^2 (f')^2 \\ &= \frac{1}{2} \Delta x \sigma \cdot \frac{T}{\sigma} (f')^2 \\ &= \frac{1}{2} \Delta x T (f')^2\end{aligned}$$

### ポテンシャルエネルギー

図 11 で、 $\Delta y = \Delta \frac{\partial u}{\partial x} = \Delta x f'$ 。  
このとき、弦ののびは

$$\begin{aligned}\Delta l &= \sqrt{\Delta x^2 + \Delta y^2} - \Delta x \\ &= \sqrt{(\Delta x)^2 (1 + f'^2)} - \Delta x \\ &= \Delta x \sqrt{1 + (f')^2} - \Delta x \\ &\approx \Delta x \left( 1 + \frac{1}{2} (f')^2 \right) - \Delta x \\ &= \frac{1}{2} \Delta x (f')^2\end{aligned}$$

よって、仕事を考えて

$$\begin{aligned}\Delta W &= T \Delta l \\ &= \frac{1}{2} \Delta x T (f')^2\end{aligned}$$

$$\therefore \Delta U = \Delta W = \frac{1}{2} T (f')^2$$

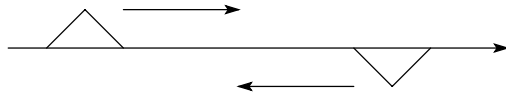


図 12: 波の打ち消し合いとエネルギーの行方

となり、運動エネルギーとポテンシャルエネルギーが一致する。

また、振動の全エネルギーは

$$\Delta E = \Delta K + \Delta U = \Delta x T (f')^2$$

$$\epsilon = \frac{\Delta E}{\Delta x} = T (f')^2$$

をエネルギー密度という。

次に、波の中のエネルギーの流れを考えよう。

< エネルギー流速密度 = energy flux >

$$\begin{aligned} J &= v\epsilon = vT(f')^2 \\ &= vT \frac{1}{v^2} \left( \frac{\partial u}{\partial t} \right)^2 = \frac{T}{v} \left( \frac{\partial u}{\partial t} \right)^2 \end{aligned}$$

$v = \sqrt{\frac{T}{\sigma}}$  より、

$$\frac{T}{v} = T \sqrt{\frac{\sigma}{T}} = \sqrt{T\sigma} = Z$$

である。この  $Z$  をインピーダンスという。

さて、このような両方向の波が打ち消し合うとき、エネルギーはどうになってしまうのだろう。

$$\begin{aligned} \Delta K &= \frac{1}{2} \Delta x \sigma \left( \frac{\partial u}{\partial t} \right)^2 = \frac{1}{2} \Delta x \sigma (-v f' + v g')^2 \\ &= \frac{1}{2} \Delta \sigma v^2 (-f' + g')^2 \end{aligned}$$

$$\Delta U = \frac{1}{2} \Delta x T \left( \frac{\partial u}{\partial x} \right)^2 = \frac{1}{2} \Delta x T (f' + g')^2$$

$$\begin{aligned} \therefore \Delta E &= \Delta K + \Delta U = \frac{1}{2} \Delta x T [(-f' + g')^2 + (f' + g')^2] \\ &= \Delta x T [(f')^2 + (g')^2] \end{aligned}$$

エネルギー密度は、

$$\epsilon = \frac{\Delta E}{\Delta x} = T [(f')^2 + (g')^2]$$

となる。これは右向き進行波と左向き進行波のエネルギーの和である。つまり、ポテンシャルエネルギーは 0 になったが、上下の方向に動こうとする運動エネルギーが残っている(らしい)。

## 4.4 波の反射と透過

### 4.4.1 波の反射

今まで無視していたが、境界条件を確認しておく。

$$\begin{cases} \text{固定端} & u(t, 0) = 0 \\ \text{自由端} & \frac{\partial u}{\partial x}(t, 0) = 0 \end{cases}$$

固定端

$u_i$  を入射波、 $u_r$  を反射波とする。

$$\begin{aligned} u(t, x) &= u_i(t, x) + u_r(t, x) \\ &= f(x - vt) + g(x + vt) \end{aligned}$$

$$\therefore f(-vt) + g(vt) = 0$$

すなわち、 $g(x) = -f(-x)$  が必要である。

$$\therefore u(t, x) = f(x - vt) - f(-x - vt)$$

$$\boxed{u_r(t, x) = -f(-x - vt)}$$

これが反射波。

自由端

$$f'(-vt) + g'(vt) = 0$$

$$f'(-x) + g'(x) = 0$$

積分すると、

$$\int_0^x dx' f'(-x') = - \int_0^{-x} (-dx') f'(-x') = -f(-x) + f(0) \quad \int_0^x dx' g'(-x') = g(x) + g(0)$$

$$\therefore g(x) = -f(x) + \text{const.}$$

定数部分は適当に無視すると、

$$g(x) = f(-x)$$

よって、

$$u_r(t, x) = g(x + vt) = f(-x - vt)$$

すなわち、 $\boxed{u_r(t, x) = f(-x - vt)}$  が反射波。

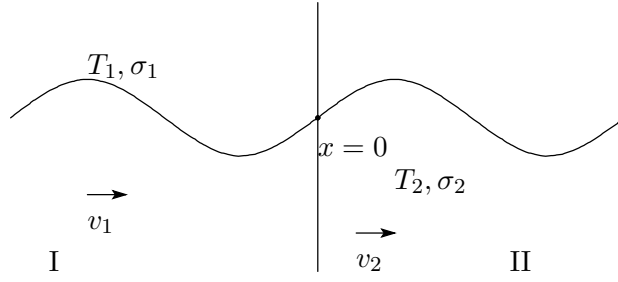


図 13: 波の透過

#### 4.4.2 波の透過

図 13 のように、左右で材質の違う弦が繋がっているとき、 $(v_1 = \sqrt{\frac{T_1}{\sigma_1}}, v_2 = \sqrt{\frac{T_2}{\sigma_2}})$  のとき、

$$u(t, x) = \begin{cases} u_I(t, x) & x < 0 \\ u_{II}(t, x) & x > 0 \end{cases}$$

$$\begin{cases} u_I(t, x) = u_i(t, x) + u_r(t, x) \\ u_{II}(t, x) = u_t(t, x) \end{cases}$$

$u_t$  は透過波 (transmitted wave)。

$$\begin{cases} u_i(t, x) = f_I(x - v_1 t) \\ u_r(t, x) = g_I(x + v_1 t) \\ u_t(t, x) = f_{II}(x - v_2 t) \end{cases}$$

境界条件は

$$\begin{cases} u_I(t, 0) = u_{II}(t, 0) & (\text{連続性より}) \\ T_1 \frac{\partial u_I}{\partial x}(t, 0) = T_2 \frac{\partial u_{II}}{\partial x}(t, 0) & (\text{横方向の力のつり合い条件より}) \end{cases}$$

よって、

$$f_I(-v_1 t) + g_I(v_1 t) = f_{II}(-v_2 t) \quad (5)$$

$$T_1(f_I'(-v_1 t) + g_I'(v_1 t)) = T_2 f_{II}'(-v_2 t) \quad (6)$$

(6) を積分して、

$$\int_0^t dt' f_I'(-v_1 t') = -\frac{1}{v_1} \int_0^{-v_1 t} d(-v_1 t') f_I'(-v_1 t) = -\frac{1}{v_1} (f_I(-v_1 t) - f_I(0))$$

$$\begin{aligned} (6) \Rightarrow T_1 \left( -\frac{1}{v_1} f_I(-v_1 t) + \frac{1}{v_1} g_I(v_1 t) \right) \\ = T_2 \left( -\frac{1}{v_2} f_{II}(-v_2 t) \right) + \text{const.} \end{aligned}$$

$$\therefore \frac{T_1}{v_1}(f_I(-v_1t) - g_I(v_1t)) = \frac{T_2}{v_2}f_{II}(-v_2t) \quad (7)$$

ここで、

$$\frac{T_1}{v_1} = \frac{T_1}{\sqrt{\frac{T_1}{\sigma_1}}} = \sqrt{T_1\sigma_1} = z_1 : \text{インピーダンス}$$

同様に

$$\frac{T_2}{v_2} = z_2$$

(7) より

$$f_I(-v_1t) - g_I(v_1t) = \frac{z_2}{z_1}f_{II}(-v_2)t \quad (8)$$

さて、(5)+(8) より

$$\begin{aligned} 2f_I(-v_1t) &= \left(1 + \frac{z_2}{z_1}\right)f_{II}(-v_2t) \\ \Leftrightarrow f_{II}(-v_2t) &= \frac{2z_1}{z_1 + z_2}f_I(-v_1t) \end{aligned}$$

(5)-(8) より、

$$\begin{aligned} 2g_I(v_1t) &= \left(1 - \frac{z_2}{z_1}\right)f_{II}(-v_2t) = \frac{z_1 - z_2}{z_1}f_{II}(-v_1t) \\ &= \frac{2(z_1 - z_2)}{z_1 + z_2}f_I(-v_1t) \end{aligned}$$

$$\therefore g_I(v, t) = \frac{z_1 - z_2}{z_1 + z_2}f_I(-v_1t) \Rightarrow g_I(t) = \frac{z_1 - z_2}{z_1 + z_2}f_I(x)$$

$x \rightarrow x + v_1t$  において、

$$\boxed{g_I(x + v_1t) = \frac{z_1 - z_2}{z_1 + z_2}f_I(-x - v_1t)}$$

さて、

$$f_{II}(-v_2t) = \frac{2z_1}{z_1 + z_2}f_I(-v_1t')$$

$$-v_2t' = x - v_2t \Leftrightarrow t' = t - \frac{1}{v_2}x \text{ より}$$

$$\begin{aligned} f_{II}(x - v_2t) &= \frac{2z_1}{z_1 + z_2}f_I\left(-v_1\left(t - \frac{x}{v_2}\right)\right) \\ &= \frac{2z_1}{z_1 + z_2}f_I\left(\frac{v_1}{v_2}(x - v_2t)\right) \end{aligned}$$

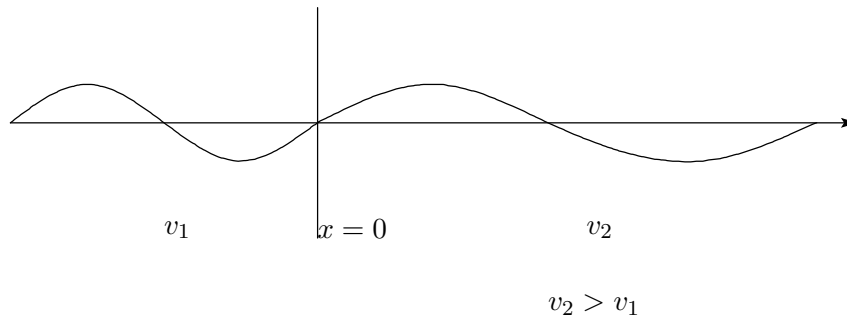


図 14: 例:波の透過

ここで、 $\frac{v_1}{v_2}$  はスケール変換を表しているらしい。

まとめて、

$$\left\{ \begin{array}{l} \text{反射波: } g_I(x + v_1 t) = \frac{z_1 - z_2}{z_1 + z_2} f_I(x - v_1 t) \\ \text{透過波: } f_{II}(x - v_2 t) = \frac{2z_1}{z_1 + z_2} f_I\left(\frac{v_1}{v_2}(x - v_2 t)\right) = \frac{2z_1}{z_1 + z_2} f_I\left(\frac{v_1}{v_2}x - v_1 t\right) \end{array} \right.$$

ちなみに  $z_1 = z_2$  のとき反射がなくなり、透過波にエネルギーが全て伝えられる。  
このようにインピーダンスを合わせることを インピーダンス整合 という。

例)

入射波が

$$\begin{aligned} f_I(x - v_1 t) &= a \cos(k_1(x - v_1 t)) \\ &= a \cos(k_1 x - \omega_1 t) \end{aligned}$$

のとき、

$$\begin{aligned} g_I(x + v_1 t) &= \frac{z_1 - z_2}{z_1 + z_2} a \cos(k_1 x + \omega_1 t) \\ f_{II}(x - v_2 t) &= \frac{2z_1}{z_1 + z_2} a \cos\left(k_1 \frac{v_1}{v_2} x - \omega_1 t\right) = \frac{2z_1}{z_1 + z_2} a \cos(k_2 x - \omega_2 t) \end{aligned}$$

このとき、スケール変換によって

$$k_2 = k_1 \frac{v_1}{v_2} (\text{波数が変化する}), \quad \omega_2 = \omega_1$$

つまり、図 14 のように波が伸びる。

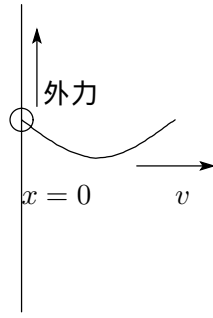


図 15: 境界での励起

#### 4.5 波の励起

図 15 のように端を外力によって動かす。

$$u(t, 0) = h(t)$$

が境界条件。  $f(-vt) = h(t) \Leftrightarrow f(x) = h\left(-\frac{1}{v}t\right)$  から、

$$u(t, x) = f(x - vt) = h\left(-\frac{1}{v}(x - vt)\right) = h\left(-\frac{1}{v}t + x\right)$$

例)

$$h(t) = a \cos(\omega t)$$

とすると、

$$\begin{aligned} f(x - vt) &= a \cos\left(\omega\left(t - \frac{1}{v}x\right)\right) \\ &= a \cos\left(\frac{\omega}{v}x - \omega t\right) = a \cos(kx - \omega t) \end{aligned}$$

これは  $k = \frac{\omega}{v}$  より、この関係 ( $\omega = vk$ ) を 分散関係 という。次は、この関係 (先述してある) が成り立たないときについて考える。

#### 4.6 波の分散

$$\left(\frac{\partial^2}{\partial t^2} - v^2 \frac{\partial^2}{\partial x^2} + \omega_0^2\right) u(t, x) = 0$$

これはプラズマ振動や振り子を横につないだときの連続極限 ( $\omega_0^2 = \frac{g}{l}$ ) などで必要になるらしい。こういうものを計算するためには、  $u(t, x) = a \cos(kx - \omega t)$  に代入して、

$$-\omega^2 + v^2 k^2 + \omega_0^2 = 0 \quad \omega^2 = \omega_0^2 + v^2 k^2, \quad \omega = \sqrt{\omega_0^2 + v^2 k^2}$$

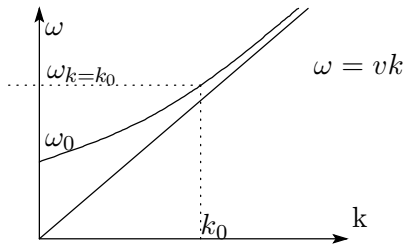


図 16: 分散関係

このとき、図 16 のようになっている。

$$v_k = \frac{\omega}{k} = \frac{\sqrt{\omega_0^2 + v^2 k^2}}{k}$$

これを位相速度という。これは  $k$  に依存する。

波束について?(ここよく分からない)

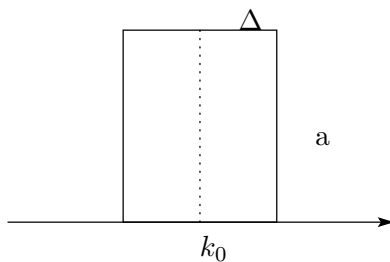
フーリエ分解して

$$f(x, t) = \frac{1}{\sqrt{2\pi}} \int_{-\infty}^{\infty} dk \tilde{f}(k) e^{ik(x - v_k t)}$$

ただし  $\omega_k = \sqrt{\omega_0^2 + v^2 k^2}$

例)

$$\tilde{f}(k) = \begin{cases} a & |k - k_0| < \Delta \\ 0 & |k - k_0| > \Delta \end{cases}$$



$$\omega_k = \omega_{k=k_0} (= \omega_0 = \omega(k_0)) + \frac{d\omega}{dk}(k - k_0) + \dots \quad (\text{テイラー展開})$$

より、

$$\begin{aligned} & \frac{1}{\sqrt{2\pi}} \int_{-\infty}^{\infty} dk \tilde{f}(k) e^{i(kx - \omega_k t)} \\ &= \frac{1}{\sqrt{2\pi}} \int_{-\Delta}^{\Delta} dk' a e^{i(k_0 x + k' - \omega_0 t - \frac{d\omega}{dk} k' t)} \\ &= e^{i(k_0 x - \omega_0 t)} \frac{a}{\sqrt{2\pi}} \int_{-\Delta}^{\Delta} e^{ik'(x - \frac{d\omega}{dk} t)} \\ &= e^{i(k_0 x - \omega_0 t)} \frac{2a}{\sqrt{2\pi}} \frac{1}{x - v_g t} \sin(\Delta(x - v_g t)) \end{aligned}$$



ここで、 $v_g = \frac{d\omega_k}{dk} = \frac{v^2 k}{\sqrt{\omega_0^2 + v^2 k^2}}$  を群速度といい(波束全体の速度)、 $\omega = \sqrt{\omega_0^2 + v^2 k^2}$ 。

## 5 二次元・三次元の波

### 5.1 さまざまな波

{	音波 (3次元)	圧縮性流体を伝わる波 (圧縮率による)
	水面波 (2次元)	圧縮性流体の表面波 (重力・表面張力による)
	電磁波 (3次元)	真空中を伝わる電場・磁場の波 (Maxwell の方程式に従う)
	物質波 (3次元)	量子力学の確率振幅の波 (Schrödinger 方程式で記述できる)

#### 5.1.1 音波の式

密度を  $\rho(x, y, z, t)$  とすると、(証明はしないが)

$$\frac{\partial^2 \rho}{\partial t^2} - v^2 \left( \frac{\partial^2}{\partial x^2} + \frac{\partial^2}{\partial y^2} + \frac{\partial^2}{\partial z^2} \right) \rho = 0$$

多次元の波動方程式である。これは媒質が等方的 (isotropic) である場合。

$$v^2 = \left( \frac{\partial P}{\partial \rho} \right)_{S/N} = \frac{1}{K \rho_0} \quad \kappa = \frac{2}{\rho} \left( \frac{\partial P}{\partial \rho} \right)_{S/N}$$

S はエントロピー、N は分子数。断熱的な場合を考えているらしい。

### 5.2 平面波 (3次元中の1次元の波)

$$P(x, y, z, t) = f(x, t)$$

すなわち、y, z 方向に対しては一次元の波を考える。

このとき、先ほどの音波の式から

$$\frac{\partial^2 f}{\partial t^2} - v^2 \frac{\partial^2 f}{\partial x^2} = 0 \quad \text{一次元の波の方程式}$$

となって我々はこれを解くことができる。

進行方向を  $\vec{n} = (n_x, n_y, n_z)$ ,  $n^2 = n_x^2 + n_y^2 + n_z^2 = 1$  とすると、

$$s = \vec{n} \cdot \vec{r} = n_x x + n_y y + n_z z, \quad \vec{r} = (x, y, z)$$

$$\rho(x, y, z, t) = f(s, t)$$

とおく。

$$\nabla f(s, t) = \nabla s \cdot \frac{\partial f}{\partial s} = \vec{n} \frac{\partial f}{\partial s} \quad \because \nabla s = \vec{n}$$

$$\Delta f(s, t) = \vec{n} \cdot \nabla \left( \frac{\partial f}{\partial s} \right) = \vec{n} \cdot (\nabla \vec{s}) \frac{\partial^2 f}{\partial s^2} = \vec{n} \frac{\partial^2 f}{\partial s^2} = \frac{\partial^2 f}{\partial s^2}$$

$$\therefore \frac{\partial^2}{\partial t^2} f - v^2 \frac{\partial^2}{\partial s^2} f = 0$$

$$\rho(x, y, z, t) = a \cos(\vec{k} \cdot \vec{r} - \omega t + \phi) \vec{n} = \frac{\vec{k}}{k}, s = \frac{\vec{k} \cdot \vec{r}}{k}$$

### 5.3 球面波

$$\rho(x, y, z, t) = g(r, t) \quad r = \sqrt{x^2 + y^2 + z^2}$$

$$\nabla g(r, t) = (\nabla r) \frac{\partial g}{\partial r} = \frac{\vec{r}}{r} \frac{\partial g}{\partial r} \quad \frac{\partial r}{\partial x} = \frac{x}{\sqrt{x^2 + y^2 + z^2}} = \frac{x}{r}$$

$$\nabla^2 g = \nabla \left( \frac{\vec{r}}{r} \frac{\partial g}{\partial r} \right) = + \frac{\vec{r}}{r} \nabla r \frac{\partial^2 g}{\partial r^2}$$

$$\begin{aligned} \nabla \left( \frac{\vec{r}}{r} \right) &= \left( \nabla \left( \frac{1}{r} \right) \right) \vec{r} + \frac{1}{r} (\nabla \vec{r}) \\ &= -\frac{1}{r^2} (\nabla r) \cdot \vec{r} + \frac{1}{r} \cdot 3 \quad \because \nabla \vec{r} = \frac{\partial}{\partial x} x + \frac{\partial}{\partial y} y + \frac{\partial}{\partial z} z = 3 \\ &= -\frac{1}{r^2} \frac{\vec{r}}{r} \cdot \vec{r} + \frac{3}{r} \\ &= -\frac{1}{r} + \frac{3}{r} = \frac{2}{r} \end{aligned}$$

$$\nabla g^2 = \frac{2}{r} \frac{\partial g}{\partial r} + \frac{\partial^2 g}{\partial r^2}$$

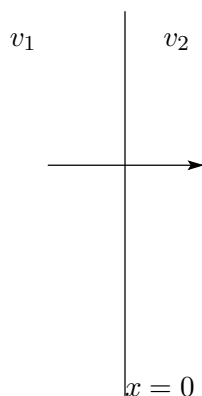
$$\frac{\partial^2 g}{\partial t^2} - v^2 \left( \frac{2}{r} \frac{\partial g}{\partial r} + \frac{\partial^2 g}{\partial r^2} \right) = 0$$

$g(r, t) = \frac{1}{r} f(r, t)$  とおく。

$$\frac{\partial g}{\partial r} = \frac{\partial}{\partial r} \left( \frac{1}{r} \right) f + \frac{1}{r} \frac{\partial f}{\partial r} = -\frac{1}{r^2} f + \frac{1}{r} \frac{\partial f}{\partial r}$$

$$\frac{\partial^2 g}{\partial r^2} = \frac{\partial}{\partial r} \left( -\frac{1}{r^2} f + \frac{1}{r} \frac{\partial f}{\partial r} \right) = \frac{2}{r^3} f - \frac{1}{r^2} \frac{\partial f}{\partial r} - \frac{1}{r^2} \frac{\partial f}{\partial r} + \frac{1}{r} \frac{\partial^2 f}{\partial r^2}$$

$$\begin{aligned} \frac{2}{r} \frac{\partial g}{\partial r} + \frac{\partial^2 g}{\partial r^2} &= \frac{2}{r} \left( -\frac{1}{r^2} f + \frac{1}{r} \frac{\partial f}{\partial r} \right) + \frac{2}{r^3} f - \frac{2}{r^2} \frac{\partial f}{\partial r} + \frac{1}{r} \frac{\partial^2 f}{\partial r^2} \\ &= \frac{1}{r} \frac{\partial^2 f}{\partial r^2} \end{aligned}$$



$\rho$  は等しい。

図 17: 平面波の反射・透過

$$\frac{\partial^2}{\partial t^2} - v^2 \frac{1}{r} \frac{\partial^2 f}{\partial r^2} = \frac{1}{r} \left( \frac{\partial^2 f}{\partial t^2} - v^2 \frac{\partial^2 f}{\partial r^2} \right) = 0$$

$f$  は一次元の波動方程式に従う。

$$\frac{\partial^2 f}{\partial t^2} - v^2 \frac{\partial^2 f}{\partial r^2} = 0$$

$f(r, t) = h(r, vt)$  外向きの球面波

例)

$$\rho(x, y, z, t) = \frac{a}{r} \cos(kr - \omega t)$$

\*  $\rho(x, y, z, t) = g(r, t) = \frac{1}{r} f(x, t)$  と表されるスカラー場

#### 5.4 平面波の反射と透過

$$\rho(x, y, z, t) = f(x, y, t) = a \cos(\vec{k} \cdot \vec{r} - \omega t) \quad \vec{k} = (k_x, k_y, 0) \quad (\rho \text{ は } z \text{ に依存しない})$$

とすると、

境界条件は (波の連続性から)

$$\rho_i e^{i(k_x x + k_y y - \omega t)} + \rho_r e^{i(k'_x x + k'_y y + k'_z z - \omega' t)} = \rho_t e^{i(k''_x x + k''_y y + k''_z z - \omega'' t)}$$

$x = 0$  の面上で連続性が全ての  $(y, z, t)$  に対して成り立つための条件は、

$$k_y = k'_y = k''_y, \quad 0 = k'_x = k''_x, \quad \omega = \omega' = \omega''$$

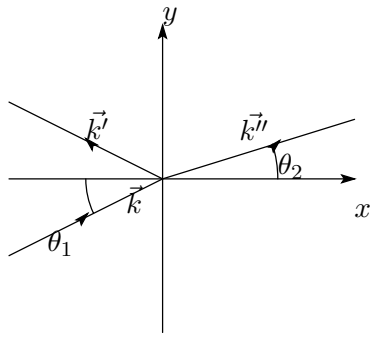


図 18: 屈折

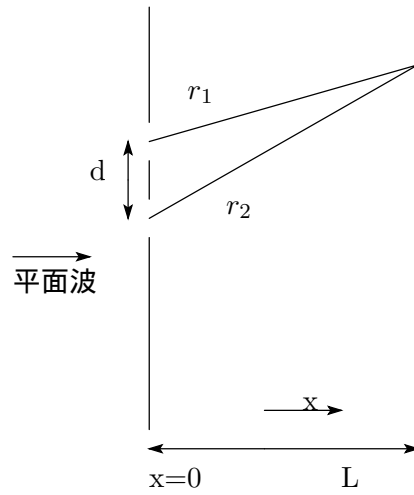


図 19: 球面波の干渉

$$k_y = k \sin \theta_1$$

$$k_y'' = k'' \sin \theta_2$$

$$\therefore k \sin \theta_1 = k'' \sin \theta_2$$

また、

$$\omega = v_1 k, \omega'' = v_2 k'' = v_1 k$$

であるから、

$$\frac{\sin \theta_1}{\sin \theta_2} = \frac{k''}{k} = \frac{\omega_1}{\omega_2}$$

これを Snell の法則という。

## 5.5 球面波の干渉

$$\begin{aligned} & a \frac{1}{r_1} \cos(kr_1 - \omega t) + a \frac{1}{r_2} \cos(kr_2 - \omega t) \\ & \approx a \frac{2}{L} \cos\left(\frac{k(r_1 + r_2)}{2} - \omega t\right) \times \cos\left(\frac{k}{2}(r_1 - r_2)\right) \end{aligned}$$

Typeset by  $\mathcal{A}\mathcal{M}\mathcal{S}$ - $\mathcal{L}\mathcal{A}\mathcal{T}\mathcal{E}\mathcal{X}$